

УДК 669.295: 539.

ЯДЕРНО-ФИЗИЧЕСКОЕ МЕТАЛЛОВЕДЕНИЕ СТАЛЕЙ

В.Г. Кириченко¹, А.И. Кирдин²

¹Харьковский национальный университет им. В.Н. Каразина, Институт высоких технологий
 61108, г. Харьков, пр. Курчатова, 31
 E-mail: kirichenko@pht.univer.kharkov.ua

²Национальный научный центр «Харьковский физико-технический институт»
 61108, г. Харьков, ул. Академическая, 1
 Поступила в редакцию 12 января 2009 г.

Рассмотрены основы ядерно-физического металловедения сталей с помощью ядерного гамма-резонанса (эффекта Мессбауэра). Приведены результаты фазового анализа железорудных и передельных материалов высокого качества на всех этапах изготовления стали, которые включают восстановление и обогащение железных руд, производство окатышей, агломерата, чугуна. Приведены результаты исследования сверхтонких взаимодействий и фазовых превращений в austenитных коррозионностойких сталях, подвергнутых комплексной термомеханической обработке, облучению, сварке и коррозии. Обнаружена концентрационная неоднородность распределения austenита по глубине в сварных швах и зонах термического влияния сталей 06X16H15M3Б и 12X18H10T. Экспериментально установлено изменение структурной и фазовой стабильности сталей под действием γ -облучения, наиболее заметно выраженное при наличии структурно-фазовых неоднородностей, характерных для процесса холодной пластической деформации. Выявлено совместное воздействие холодной пластической деформации и облучения на развитие прямого и обратного γ - α превращения. Коррозия сталей в газовых и жидкых средах приводит к формированию гетерофазной оксидной пленки.

КЛЮЧЕВЫЕ СЛОВА: ядерно-физические методы, сверхтонкие взаимодействия, эффект Мессбауэра, сталь, легирование, поверхность, электронная структура, облучение, коррозия.

Многоотраслевая цепочка ядерной энергетики составляет замкнутый ядерный топливный цикл. Он включает добычу и обогащение ядерного топлива, производство конструкционных материалов и тепловыделяющих элементов для активной зоны ядерных реакторов, выгорание топлива в активной зоне ядерных реакторов, производство электроэнергии, переработку отработавшего ядерного топлива, регенерацию, удаление и захоронениеadioактивных отходов [1, 2]. Развитие энергетики Украины невозможно без использования ядерной энергии: АЭС генерируют более 50% электроэнергии. Для поддержания этого баланса необходимо построить около 20 ядерных энергоблоков до 2030 года [3].

Конструкционные и функциональные материалы - ядерные топливные и конструкционные материалы, композиты и многие другие - определяют конкурентоспособность не только ядерной отрасли, но технологического уровня страны в целом [4]. В некоторых сплавах обнаружен эффект, обеспечивающий высокие эксплуатационные свойства материалов. В отличие от деградации свойств материалов, связанной с появлением хрупкости при радиационном воздействии, облучение сплавов Ni-Cr-Mo приводит к увеличению прочности при сохранении вязкости при высокодозном облучении. В твердом растворе nanoструктурной подрешетки образуются кластеры близкого упорядочения – ловушки вакансий и интерстиций с периодом 5-10 нм, соизмеримым с длиной свободного пробега радиационных точечных дефектов, что является наиболее эффективным способом обеспечения радиационной стойкости. Сплавы подобного класса уже используются для особо ответственных элементов ядерных реакторов: систем управления реакторов АЭС, конструкционных материалов активных зон транспортных реакторов нового поколения.

Нержавеющие бористые стали перспективны для использования в системах управления ядерных реакторов, создания ядерно-безопасного оборудования для обращения с отработавшим ядерным топливом и его переработки. Для получения равномерного распределения боридов в бористой стали использован метод сверхбыстрого охлаждения частиц расплава. При последующих переделах образуются выделения боридов нанометрового уровня. Переход к nanoструктурным боросодержащим выделениям (размером 5-100 нм) позволяет увеличить содержание бора в 3-4 раза при сохранении пластичности и свариваемости нержавеющих сталей.

Одной из главных проблем является обеспечение радиационной стойкости стальной оболочки тепловыделяющего элемента при повышенных характеристиках жаропрочности. Разработанная в «Бочваровском институте» технология получения дисперсно-упрочненной оксидами стали (ДУО-сталь) включает получение гомогенных быстрозакаленных порошков методом центробежного распыления расплава, твердофазное легирование матричного материала нанодисперсными оксидами иттрия, компактирование порошков и термомеханическую обработку для создания в матрице стали выделений оксидов иттрия нанометрового масштаба. Сталь имеет ферритную структуру с вытянутыми областями вдоль направления экструзии, состоящими из крупных (30-50 мкм) и мелких (0,5-2 мкм) зерен. Nanostructuredированная ДУО-сталь сохраняет достаточно высокое остаточное удлинение после обработки со степенями деформации до 60% и высокие параметры жаропрочности по сравнению со штатной сталью.

Создание таких сталей может способствовать повышению конкурентной способности действующих и раз-

разрабатываемых реакторов на быстрых нейтронах. Кроме того, очень важно создать новые материалы с быстрым спадом наведенной активности и материалы, обладающие повышенной радиационной стойкостью и увеличенным сроком службы (до 60 лет) с обеспечением экологической безопасности конструкций ядерных энергетических установок. Реализация приведенных примеров разработок сталей невозможна без развитой базы производства железорудных и передельных материалов высокого качества, которые включают восстановление и обогащение железных руд, производство окатышей, агломерата, чугуна, проведение фазового анализа на всех этапах технологического процесса - от сырья до конечного продукта.

Отметим важность совершенствования системы измерений параметров конструкционных и ядерных материалов, поскольку задачи анализа, контроля, учета, физической защиты конструкционных и ядерных материалов, по-прежнему, актуальны. Необходимо разрабатывать новые экспрессные методы фазового и структурного анализа новых материалов и композиций. Ядерно-физические методы микроскопического анализа локального окружения атомов и исследование сверхтонких взаимодействий (СТВ) на ядрах атомов-зондов в матрицах металлических и неметаллических материалов применяются для решения многих задач физики твердого тела, физики радиационных повреждений, физического и реакторного материаловедения, ядерной энергетики, металлургии. Применение ядерно-физических методов для регистрации СТВ в твердых телах составляет предмет исследований ядерно-физического металловедения сплавов [5-13]. Цель настоящей работы – изучение методами ядерно-физического металловедения структурно-фазового состояния железорудных материалов и аустенитных коррозионностойких сталей в условиях термомеханического, радиационного и коррозионного воздействия.

ЯДЕРНО-ФИЗИЧЕСКИЕ МЕТОДЫ РЕГИСТРАЦИИ СТВ В МЕТАЛЛАХ. ТЕХНИКА ЭКСПЕРИМЕНТА

Экспериментальная регистрация СТВ и изучение сверхтонких взаимодействий в твердых телах производится с помощью ядерно-физических методов. К ядерно-физическим методам относятся ядерный гамма-резонанс (ЯГР) или эффект Мессбауэра, ядерный магнитный резонанс, электронный парамагнитный резонанс, ядерный квадрупольный резонанс, метод возмущенных угловых корреляций, метод электрон-позитронной аннигиляции, метод ориентированных ядер и ряд других. Значительный научный и прикладной интерес вызывает изучение СТВ в конструкционных материалах ядерной энергетики в связи с проблемой повышения радиационной и коррозионной стойкости материалов, таких как аустенитные и ферритные коррозионно-стойкие стали, керамические и неорганические материалы.

СТВ можно разделить на электрическое монопольное, электрическое квадрупольное и магнитное дипольное взаимодействие. В случае наблюдения ЯГР первое взаимодействие проявляется в виде изомерного сдвига мессбауэровских спектров, характеризующего зарядовую электронную плотность в области ядра $|\psi(0)|^2$. Второе обусловлено тензором градиента электрического поля в области ядра. Для расчета $|\psi(0)|^2$ и полного градиента электрического поля в металлических кристаллах нужны детальные сведения о s , p и d волновых функциях электронов и самосогласованный учет взаимного влияния внутриатомных и межатомных электронных взаимодействий. Магнитное СТВ является суммой нескольких вкладов, определяемых взаимодействием магнитного момента ядра со спиновой электронной плотностью электронов проводимости, орбитальными моментами электронов, спиновой электронной плотностью электронов собственного ионного остова. Более подробно методические основы применения ядерно-физических методов регистрации СТВ описаны в [5,6].

Наиболее информативным и эффективным методом исследования сверхтонких взаимодействий в твердых телах является ЯГР. Метод ЯГР спектроскопии на ядрах ^{57}Fe обладает высокой чувствительностью и высоким энергетическим разрешением и эффективно применяется в геометриях пропускания и рассеяния для локального исследования электронных и магнитных свойств, динамики решетки, фазовых превращений и фазового состава как в объеме, так и в приповерхностных слоях глубиной до 0,1 мкм в железосодержащих и оловосодержащих материалах.

Принцип измерения при наблюдении эффекта резонансного поглощения (или рассеяния) заключается в измерении интенсивности прошедших (или рассеянных) γ -квантов в зависимости от скорости, с которой источник и поглотитель (или рассеиватель) движутся друг относительно друга. Источником мессбауэровского излучения служит ^{57}Co в металлической матрице (например, в Ст с ОЦК структурой), находящийся при комнатной температуре. Схема распада изотопа ^{57}Co представлена на рис.1. Гамма-кванты с энергией 14,4 кэВ, испускаемые источником, частично поглощаются исследуемым образцом, в котором содержатся находящиеся в основном состоянии атомы ^{57}Fe . Часть γ -квантов, прошедших через поглотитель, создает в детекторе импульсы напряжения, амплитуда которых пропорциональна энергии γ -квантов. Для измерения спектра гамма-резонансного поглощения в спектрометре используется принцип доплеровского смещения энергии γ -квантов. Для этого осуществляется перемещение источника относительно поглотителя и при каждом значении смещения энергии гамма-квантов спектрометр обеспечивает измерение интенсивности γ -квантов, прошедших через образец.

Основной трудностью проведения фазового анализа с высокой точностью при использовании мессбауэровской спектроскопии в геометрии поглощения является обычно практически неустранимая нелинейная зависимость интегральной интенсивности мессбауэровских спектров от эффективной толщины образцов - поглотителей по ядрам. Это затруднение во многом устраняется при использовании методики регистрации мессбауэровских спектров обратного рассеяния с помощью детектирования электронов внутренней конверсии (МСКЭ).

Основным элементом МСКЭ является детектор конверсионных электронов. Особенность наблюдения эффекта Мессбауэра по электронам конверсии заключается в том, что кроме информации, получаемой из расшифровки резонансных спектров, имеется возможность проводить послойный анализ поверхности, так как энергия электронов, вышедших из образца, зависит от длины пробега электрона в материале. Регистрируя электроны по углу выхода и энергии, можно «просматривать» конечный слой на выбранной глубине.

Известные конструкции газоразрядных детекторов конверсионных электронов предназначены для работы только с одним образцом и неудобны для изучения неоднородных по свойствам материалов. Для исследования протяженных образцов, подвергнутых неравномерному по площади внешнему воздействию, например, восстановлению, коррозии, термомеханической обработке, сварке, облучению был сконструирован и изготовлен кассетный детектор конверсионных электронов, позволяющий осуществлять плавный выбор различных участков поверхности исследуемого материала (рис.2) [14].

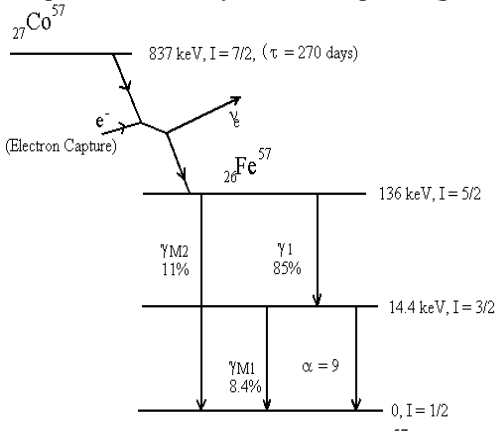


Рис. 1. Схема распада изотопа ^{57}Co

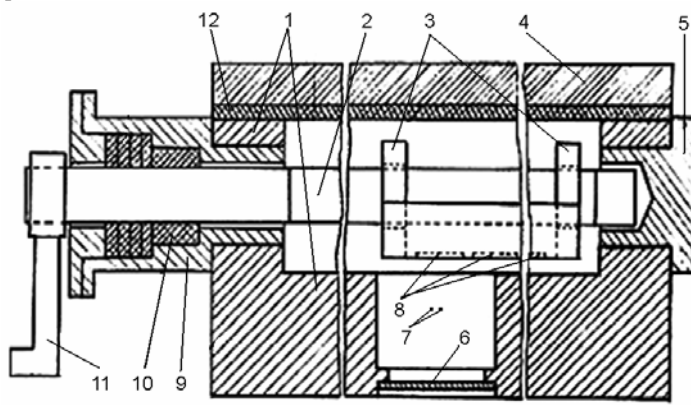


Рис. 2. Схема кассетного детектора конверсионных электронов.
1 - корпус, 2 - направляющий винт, 3 - кассета, 4 - крышка, 5 - втулка упорная, 6 - бериллиевое окно, 7- анод, 8- образцы, 9 - подшипник, 10 - вакуумный сальник, 11 – ручка, 12 - резиновое уплотнение.

Корпус 1 изготовлен из магния с целью уменьшения фона. Камера счетчика имеет прямоугольное сечение с внутренними размерами $400\text{мм} \times 25\text{мм} \times 20\text{мм}$. Вдоль камеры расположен направляющий винт 2 с кассетой 3 для образцов, укрепленный в подшипнике 9 и вакуумном сальнике 10. Кассета 3 представляет собой прямоугольную рамку с внешними размерами $200\text{мм} \times 20\text{мм} \times 15\text{мм}$, в верхней части которой через резьбу происходит соединение кассеты 3 с направляющим винтом 2. При вращении винта 2 происходит перемещение кассеты 3 по внутренним пазам камеры. В кассете мог быть помещен протяженный образец 8 размерами до $200\text{ мм} \times 20\text{ мм}$ или 10 образцов площадью $20\text{ мм} \times 20\text{ мм}$ каждый. Крепление образцов к кассете осуществляли с помощью крышки 4 с резиновым уплотнением 12. Ввод γ -излучения в счетчик происходит через окно 6 диаметром 18 мм, закрытое бериллиевой фольгой толщиной 0,1 мм. За окном были закреплены коллиматоры, определяющие размеры исследуемого участка. Анодом являлись две вольфрамовые нити 7 диаметром 0,02 мм. Расстояние между нитями равнялось 2 мм. Высокое напряжение подавали через электрический ввод в корпусе 1. Положение кассеты с образцами для измерений выставляли перед герметизацией счетчика, а последующий выбор исследуемого участка (образца) в работающем счетчике осуществляли на основе известной связи между числом оборотов ручки, закрепленной на направляющем винте 2, и расстоянием от этого участка до центральной оси коллиматора. Газовая смесь на основе Не [15] готовилась непосредственно на входе в детектор, вводилась и выводилась через заливки, одна из которых была расположена около окна 6, а вторая – около вакуумного сальника 10. Скорость протекания газовой смеси составляла в среднем $0,5\text{ см}^3/\text{мин}$.

В металловедческом исследовании железорудных материалов и сталей применяли такие эффективные методы исследования структуры и свойств твердых тел как ЯГР спектроскопия на ядрах ^{57}Fe в геометрии пропускания, МСКЭ, рентгеноструктурный фазовый анализ, рентгеноспектральный анализ, резерфордовское обратное рассеяние, просвечивающая и растровая электронная микроскопия, оптическая микроскопия; измерение параметров коррозии материалов, методы дифференциального термического анализа. Применили широкий спектр внешних воздействий: термическая и механическая обработка в различных сочетаниях и последовательности; окисление и коррозионные испытания в газовых и жидких средах; облучение тяжелыми ионами, электронами, импульсным лазерным излучением. Для исследования влияния ионной имплантации проводили облучение сплавов ионами Cr^{4+} и Fe^{4+} при $T=300\text{ K}$ в вакууме на ускорителе тяжелых ионов.

На всех этапах термомеханической обработки (ТМО) проводили мессбауэровское и рентгенографическое исследование железорудных материалов и сталей. ЯГР спектры поглощения и спектры резонансного рассеяния регистрировали с помощью ядерного гамма-резонансного спектрометра ЯГРС-4М. Источник γ -квантов ^{57}Co в матрице Cr находился при комнатной температуре. Градуировку спектрометра проводили с помощью стандартных железосодержащих гамма-резонансных поглотителей (ГСОН №1551-79). С помощью МСКЭ проводили

идентификацию железосодержащих фаз в исходном состоянии сплава и в процессе изохронного отжига. Спектры обратного рассеяния описывают распределение железа и железосодержащих фаз в приповерхностных слоях толщиной до 3000 Å. Для регистрации МСКЭ спектров обратного рассеяния использовали проточный газовый пропорциональный детектор конверсионных электронов в сочетании с ЯГР спектрометром.

Для послойного анализа поверхности сплавов с добавками ^{57}Fe использовали метод снятия угловых спектров под различными углами падения пучка γ -квантов с помощью газового проточного детектора с осью вращения в плоскости образца. Рентгенографическое исследование сплавов проводили ионизационным и фотографическим методами на установке ДРОН-3,0 и УРС-50ИМ в Cu k_{α} и Fe k_{α} излучении. Рентгеноспектральный анализ поверхности отожженных образцов проводили на спектрометре "Camebaх MBX 268". Электронномикроскопические исследования проводили на просвечивающем электронном микроскопе ЭМ-200 с разрешающей способностью 15 Å при ускоряющем напряжении 125 кВ. Анализ поверхности образцов сталей проводили с помощью микроскопа JEOL JSM-840.

МЕССБАУЭРОВСКИЙ ФАЗОВЫЙ АНАЛИЗ ЖЕЛЕЗОРУДНЫХ МАТЕРИАЛОВ И ПРОДУКТОВ МЕТАЛЛУРГИЧЕСКОГО ПЕРЕДЕЛА

Необходимым и важным элементом производства обогащенных железорудных материалов и дальнейшего производства чугуна и стали, является совершенствование техники фазового анализа и повышение точности определения фазового состава железорудного сырья и продуктов переработки этого сырья [16-19]. Объективные условия металлургического производства приводят к необходимости оптимизации исходного железорудного сырья в соответствии с технологическими стандартами и непрерывно повышать качество готовой продукции. Таким образом, проблема фазового анализа железорудного сырья актуальна и требует своего решения. Решение данной проблемы открывает новые пути рационального использования ресурсов, выбор оптимальных параметров обработки при обогащении полезных ископаемых. Кроме того, необходимо возобновление работ по прямому получению высокочистого железа путем восстановления железорудных окатышей для создания в стране несуществующей до сих пор высокоэффективной экологически более чистой технологической цепочки: горно-обогатительный комбинат – электрометаллургический комбинат. Одним из эффективных методов обогащения руд с низким содержанием железа, находящегося в парамагнитном состоянии, является воздействие на железорудные материалы сильных магнитных полей. Потребность в этой технологии будет возрастать по мере истощения залежей руды с большим содержанием железа. Поэтому фазовый анализ «хвостов» переработки железорудных материалов в ходе процесса обогащения сырья является столь важным.

Исследование фазового состава железорудных материалов с низким содержанием железа после сепарации в слабых магнитных полях

Магнитная сепарация железорудных материалов с низким содержанием железа в парамагнитном состоянии в странах с богатыми железом рудами практически не исследуется и, тем более, не используется. Для полноценного развития методов магнитной сепарации, способных перерабатывать до 100 т/час бедных парамагнитных руд, необходимо использование высоко градиентных сверхпроводящих магнитов с полями до 5 Тл. В настоящее время такие сверхпроводящие системы применяют для удаления парамагнитных примесей железа из каолина, используемого в промышленности. Приведем результаты обогащения за счет магнитной сепарации в магнитном поле 0,2 Тл бедного железорудного материала, взятого из «хвостов» обогатительного комбината и содержащего железо в парамагнитном состоянии. Фазовый анализ исходных проб с помощью МСКЭ свидетельствует о наличии парамагнитного закисного железа в виде ионов Fe^{2+} (рис.3).

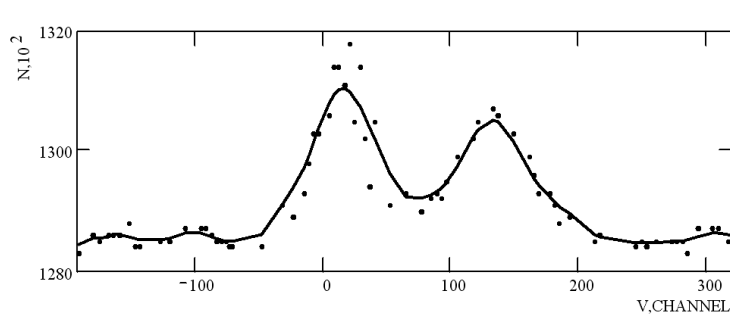


Рис.3. Мессбауэровский спектр рассеяния анализируемого сырья

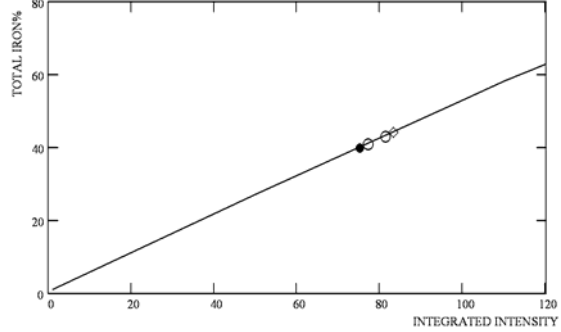


Рис. 4. Содержание $\text{Fe}_{\text{общ}}$ в пробах до (○) и после (◊) обработки в магнитном поле и в реперной пробе (●).

Параметры мессбауэровского спектра рассеяния следующие: изомерный сдвиг $\delta=1,42$ мм/с (относительно α -Fe), квадрупольное расщепление ΔE_Q , полуширины линий дублета $\Gamma_1=1,02$ мм/с и $\Gamma_2=0,78$ мм/с. Асимметрия пиков говорит о наличии небольшого количества ионов Fe^{3+} . На рис.4 приведена реперная линейная зависимость общего содержания железа $\text{Fe}_{\text{общ}}$ в пробах от интегральной интенсивности спектра рассеяния S. После нанесения на реперную зависимость полученных значений интегральной интенсивности спектров рассеяния определили содержание $\text{Fe}_{\text{общ}}$, погрешность - в пределах символа. Это значение составило для пробы в исход-

ном состоянии $40\pm2\%$, а после обработки пробы в магнитном поле 0,2 Тл увеличилось до $44\pm2\%$. Таким образом, фазовый анализ с помощью МСКЭ немагнитных фаз с низким содержанием железа (до 40%) продемонстрировал возможность обогащения немагнитных фаз во внешних магнитных полях. В полях 0,2 Тл. достигнут эффект обогащения 10%.

Фазовый анализ железорудных материалов после высокотемпературного нагрева

Одним из важных частных вопросов физико-химического исследования доменных процессов является анализ влияния свойств железорудного сырья в формировании зоны “размягчение-расплавление” при высоких температурах, что обуславливает показатели плавки на агрегатах большого объема. В связи с экспериментальными трудностями исследования поведения шихтовых материалов в высокотемпературной зоне доменных печей изучение процессов формирования расплавов производится в лабораторных условиях [20]. Рассмотрим мессбаузеровские спектры основных фаз, встречающиеся при исследовании окислительно-восстановительных процессов. Спектр рассеяния металлического железа представлен шестью линиями, которые обусловлены сверхтонким зеемановским расщеплением ядерных уровней (рис.5), со значением сверхтонкого магнитного поля на ядрах $H_{\text{эфф}} = 330$ кЭ.

$N, 10^2$ имп.

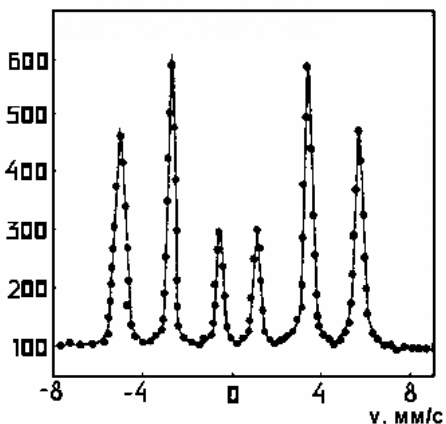


Рис.5. Спектр МСКЭ в геометрии обратного рассеяния поверхности железа, обогащенного изотопом ^{57}Fe до 85%

$N, 10^2$ имп.

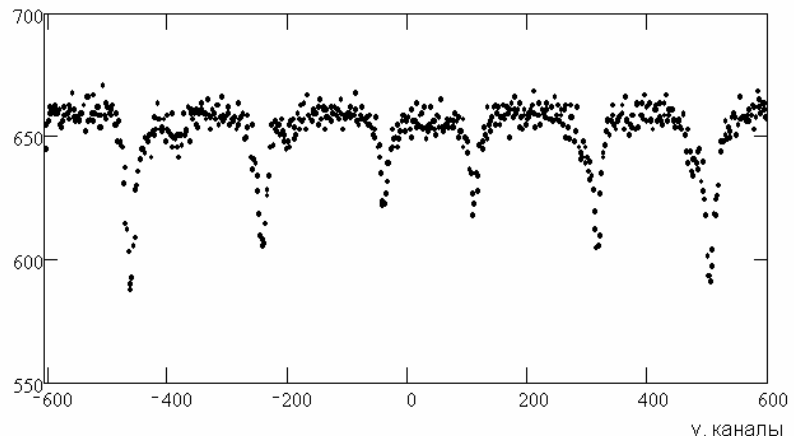


Рис.6. Спектр поглощения $\alpha\text{-Fe}_2\text{O}_3$ природного изотопного состава в геометрии пропускания γ -квантов (здесь и далее в разделе $1\text{k} = 0,017\text{мм}/\text{с}$)

Согласно диаграмме состояния железо-кислород, устойчивыми соединениями являются Fe_2O_3 , Fe_3O_4 , FeO . Гематит имеет ромбодиэдрическую кристаллическую решетку типа корунда. В интервале температур T_M-T_N (T_M — температура Морина, T_N — температура Неля) магнитная структура гематита антиферромагнитная. Спектр поглощения гематита представлен шестью линиями и обусловлен зеемановским расщеплением ядерных уровней (рис.6). Градиент электрического поля на ядрах ^{57}Fe в $\alpha\text{-Fe}_2\text{O}_3$ является аксиально-симметричным и связан в основном с распределением ионов Fe^{3+} в решетке гематита. Наличие градиента электрического поля приводит к небольшому смещению ядерных уровней и, в отличие от $\alpha\text{-Fe}$, нарушению их эквидистантности. При температурах выше T_N магнитное поле на ядрах исчезает совсем, а ромбодиэдрическая решетка испытывает небольшое сжатие вдоль тригональной оси, приводящее к увеличению квадрупольного расщепления. Суперпарамагнетизм гематита характерен для частиц размером менее 100 Å. Мессбаузеровский спектр $\gamma\text{-Fe}_2\text{O}_3$ при комнатных температурах имеет вид секстиплета со следующими параметрами: $\delta=0,59$ мм/сек относительно ^{57}Co в Cr, $H_{\text{эфф}}=505$ кЭ. Слой $\gamma\text{-Fe}_2\text{O}_3$ может образоваться на поверхности частиц $\alpha\text{-Fe}$, причем даже при толщине пленки 1,5-2 атомных слоя он оказывается магнитоупорядоченным из-за влияния $\alpha\text{-Fe}$.

В ряду $\text{FeO}-\text{Fe}_3\text{O}_4-\text{Fe}_2\text{O}_3$ при окислительно-восстановительных процессах разложение виостита происходит в два этапа с формированием промежуточных фаз Fe_3O_4 и $\alpha\text{-Fe}$. Магнетит образуется в микрообластях с дефицитом железа. Структуру Fe_3O_4 можно рассматривать как совокупность плоскостей из ионов O^{2-} , между которыми располагаются плоскости из ионов железа. Порядок чередования плоскостей Fe_n следующий: первая плоскость состоит из ионов только октаэдрической координации Fe(B) , вторая — из тетра- и октаэдрических ионов железа в отношении 2:1. Мессбаузеровский спектр магнетита представляет собой суперпозицию двух спектров, обусловленных наличием двух магнитных подрешеток.

Виостит обладает кубической гранецентрированной решеткой типа NaCl . В его структуре можно выделить чередующиеся плоскости ионов О и Fe, причем расположение металлических ионов в плоскостях сходно с расположением атомов в плоскости (111) в структуре $\alpha\text{-Fe}$. Это свидетельствует о том, что решетка FeO формируется в результате диффузии кислорода в $\alpha\text{-Fe}$ с образованием плоскостей из атомов кислорода между слоями из атомов железа. При комнатных температурах мессбаузеровский спектр имеет вид дублета. Величина квадрупольного расщепления пропорциональна дефектности виостита (рис.7).

Изменение свойств железорудного сырья в процессе формирования зоны “размягчение-расплавление” при

высоких температурах, например, в процессе восстановления в доменных печах, во многом определяет показатели плавки, особенно в агрегатах большого объема. Мессбауэровская спектроскопия, рентгеноструктурный анализ и химический анализ использовали для определения фазового состава жидкой фазы при формировании расплавов шихтовых материалов при высоких температурах. Исследовали железорудные материалы двух типов: агломерат и окатыши, после нагрева в диапазоне 1300–1560 С. Агломерат имел основность $\text{CaO}/\text{SiO}_2=1,44$, а окатыши - 0,56.

Важным является вопрос о распределении MgO (магнезии) между железосодержащими соединениями и шлаковой связкой. Считается, что, по мере восстановления MgO , может входить в фазы Fe_2O_3 , Fe_3O_4 , Fe_xO и железосодержащие шлаковые материалы. Одним из требований к железорудному сырью является повышение их основности до 1,2; хотя наибольшей прочностью обладают окатыши естественной основности. Следует ожидать, что при увеличении основности сырья относительное содержание железа в оксидной фазе будет уменьшаться с одновременным переходом атомов железа в связку (силикатную или ферритную). Подобное явление наблюдается в нашем случае. Типичный спектр исследуемых проб представляет суперпозицию компонентов FeO , $\alpha\text{-Fe}$, Fe_2O_3 (рис.8).

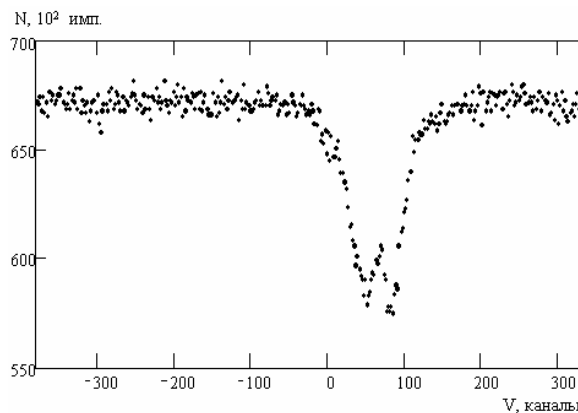


Рис. 7. Спектр поглощения виостита в геометрии пропускания γ -квантов

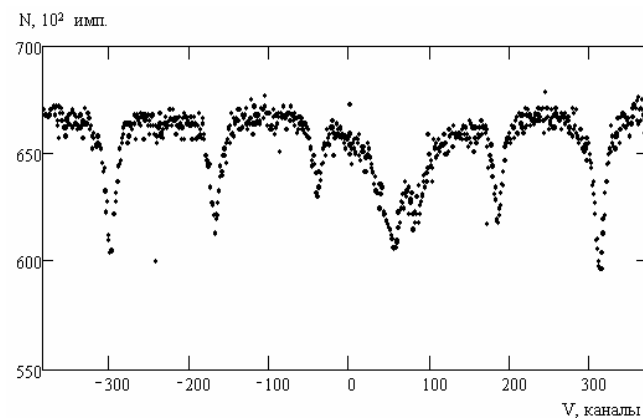


Рис.8. Спектр образца состава: $\text{Fe}_{\text{общ.}} (62.13\%)$; $\text{FeO} (26.30\%)$; $\text{Fe}_{\text{мет.}} (37.22\%)$

Анализ мессбауэровских спектров поглощения и рентгеноструктурных данных позволяет сделать вывод о том, что в высокоосновных агломератах содержание закиси железа ниже, чем в окатышиах. В исходном агломерате с высокой основностью содержание гематита ниже, чем в исходных окатышиах с низкой основностью. При восстановлении агломерата и окатышей в агломерате возрастает доля ферритной связки, в полном соответствии с представлениями об увеличении доли связки при обжиге высокоосновного железорудного сырья. Это явление может играть важную роль в определение оптимального состава и условий высокотемпературной обработки агломерата. При обеспечении высокой степени восстановления агломерата жидкая фаза формируется на основе нерудных оксидов и роль MgO при этом велика. В окатышиах количество FeO и MgO велико, что приводит к большому количеству FeO в расплавах. Это определяет более низкие показатели плавки при использовании окатышей в доменных печах.

Фазовый состав железорудных окатышей. Восстановление окатышей и проблема вторичного окисления губчатого железа и металлизованных окатышей

Наиболее эффективным процессом получения высокочистого железа является прямое восстановление железорудных материалов водородом, природным газом и др. Изменение фазового состава железорудных окатышей в процессе восстановления, приводящее к непрерывной перестройке межфазных границ и полей упругих напряжений, существенно влияет на механическую прочность и газодинамические слои восстанавливаемого материала. Прочность окатышей, не содержащих в большом количестве шлаковой связки, в процессе металлизации будет зависеть, в основном, от особенностей структурно-фазовых превращений железосодержащих фаз в процессе восстановления [21]. Обнаружены две стадии разупрочнения железорудных окатышей при их восстановлении, в зависимости от времени выдержки при 600 С в атмосфере $\text{Ar}+\text{H}_2$. Поведение окатышей в этом случае отличается от рассмотренного ранее случая доменного передела. Первая стадия разупрочнения связана с трещинообразованием окатышей, инициируемых фазовым превращением $\text{Fe}_2\text{O}_3 \rightarrow \text{Fe}_3\text{O}_4$. Вторая стадия может быть связана с увеличением вероятности образования трещин по межфазным границам $\text{FeO}/\alpha\text{-Fe}$ с ростом площади межфазных границ и механических напряжений, которые должны приближаться к максимальным при фазовом составе окатышей с примерно равным содержанием этих фаз.

Губчатое железо, являющееся продуктом восстановления железорудных материалов (в виде железорудных окатышей), обладает развитой поверхностью, что может приводить при соответствующем значении удельной поверхности к пирофорности (самовозгоранию) полученных металлизованных окатышей. Отсюда необходимость исследования кинетики окисления железной губки и разработка методов ее пассивации. В работе [22] с помощью мессбауэровской спектроскопии на поглощение ядрами ^{57}Fe исследовали фазовый состав губчатого

железа, полученного восстановлением гематита в водороде и подвергнутого в дальнейшем дегазации и окислению. Исходные образцы готовили осаждением однородного слоя порошка гематита $\alpha\text{-Fe}_2\text{O}_3$ (обогащенного до 85% стабильным изотопом ^{57}Fe) на слюдянную подложку толщиной 100 мкм. Восстановление исходных образцов проводили в печи сопротивления в токе водорода (чистотой 99,99%) в диапазоне температур 350-800 С. При температуре окисления губчатого железа, равной 350 С, фазовый анализ будет наиболее простым, а кинетика роста окисной фазы предположительно близка к параболическому закону. На рис.9а приведен спектр поглощения образца губчатого железа, полученного восстановлением при 400 С. Спектр поглощения окисленного образца губчатого железа показан на рис.9б.

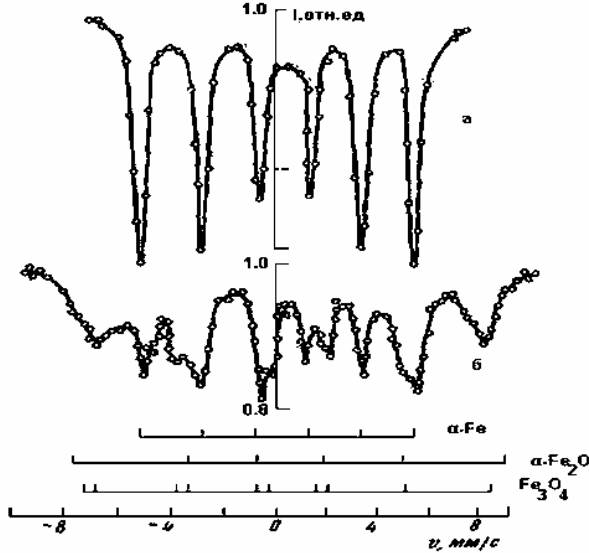


Рис. 9. Спектры поглощения губчатого железа
(а) - продуктов восстановления и (б) - продуктов окисления

Величина магнитного расщепления не отличается от величины расщепления спектра массивного железа. Спектр поглощения окисленного образца (рис.9б) представляет собой суперпозицию спектров поглощения $\alpha\text{-Fe}$, $\alpha\text{-Fe}_2\text{O}_3$ и Fe_3O_4 . Величины изомерных сдвигов и магнитных полей на ядрах Fe^{57} в губчатом железе в пределах ошибки эксперимента ($\pm 0,02$ мм/с и ± 10 кЭ соответственно) были одинаковы для всех образцов независимо от температуры восстановления и совпали с соответствующими величинами для массивного $\alpha\text{-Fe}$. В некоторых случаях при восстановлении гематита водородом при 350° С спектр конечного продукта являлся суперпозицией шестилинейчатого спектра, характерного для $\alpha\text{-Fe}$, и дублета с изомерным сдвигом $0,78 \pm 0,05$ мм/с относительно нитропруссида натрия и квадрупольным расщеплением $0,85 \pm 0,5$ мм/с. Дублет не исчезал после отжига образца в атмосфере водорода при 350° С, а также выдержки на воздухе при комнатной температуре.

На рис.10 в относительных единицах показаны зависимости от времени окисления квадрата площади спектра поглощения окисной фазы, состоящей из Fe_3O_4 и $\alpha\text{-Fe}_2\text{O}_3$. Зависимость 1 описывает процесс окисления губчатого железа, полученного восстановлением при 400 С, зависимость 2 относится к губчатому железу, полученному при 750 С. Ход кинетических кривых в обоих случаях одинаков, но скорость окисления образцов серии 1 заметно выше, чем образцов серии 2. На кинетических кривых можно выделить три участка, характеризующихся различными скоростями окисления. На первом за время до 5 мин. около 45% всех атомов железа образцов серии 1 переходит в окисную фазу, для серии 2 - около 30% атомов железа. Возможно, что первая стадия частично связана с адсорбированным на поверхности губки кислородом и быстрым окислением на воздухе из-за большой поверхности губчатого железа. Вторая стадия (около 7 часов для серии 1 и около 11 часов для серии 2) характеризуется простым параболическим законом прироста окисной фазы в обоих случаях. Видимо, на первых двух стадиях происходит окисление наиболее дефектных мест железной губки, а на второй стадии начинает сказываться влияние окисного слоя. Третий участок кинетических кривых характеризуется простым параболическим законом и насыщением прироста окисной фазы. На третьей стадии процесс окисления губчатого железа существенно замедляется после прохождения начальной стадии, характеризующейся высокой скоростью протекания реакции. Но даже на третьей стадии скорости окисления образцов серий 1 и 2 различны.

В получаемом в промышленных условиях губчатом железе содержится, как правило, 0,5-3,0% углерода, образовавшегося при разложении имеющихся в восстановительных газах углеводородов или окиси углерода [22]. При температурах выше 400 С в бинарной системе Fe-C образуется карбид Fe_3C (цементит). При более низких температурах возможно образование карбидов другого состава [23]. Так как температура восстановления обычно выше 400 С, то основным результатом карбидизации должно быть образование цементита. Карбидизация может существенно изменить ход процесса восстановления и свойства готового продукта, в частности, его пирофорность. Коэффициент диффузии водорода в цементите в 20-25 раз меньше коэффициента диффузии

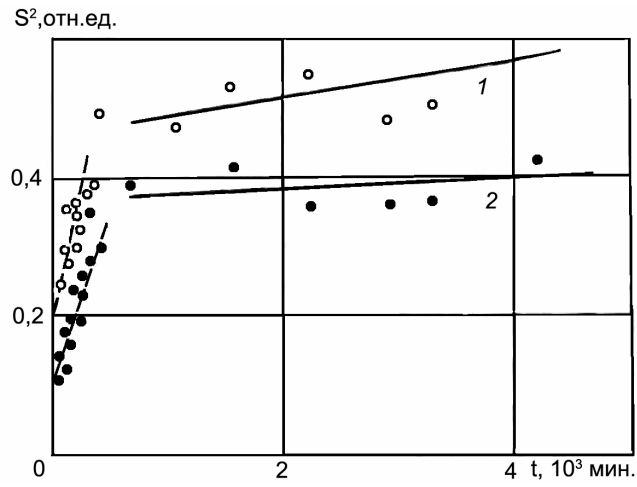


Рис. 10. Зависимости квадрата площади под спектром поглощения окисной фазы от времени окисления образцов губчатого железа, полученных восстановлением при 400 С (1) и 750 С (2)

водорода в решетке α -Fe [23]. Появление межфазовых границ цементит-металл приводит к увеличению числа ловушек для водорода, но, с другой стороны, карбидизация может уменьшить адсорбционную способность поверхности губчатого железа.

Приведем результаты исследования с помощью мессбаузерской спектроскопии на поглощение ядрами ^{57}Fe фазового состава губчатого железа, полученного восстановлением гематита в водороде и подвергнутого в дальнейшем дегазации, карбидизации и окислению [24]. Восстановление и выдержку полученного губчатого железа в атмосфере водорода в интервале температур 350–750 С производили в установленной на спектрометре камере. Дегазацию осуществляли здесь же нагревом образца в вакууме. Науглероживание и окисление производили в отдельной трубчатой горизонтальной печи. Карбидацию осуществляли в токе окси углерода при температуре 410 С. На рис.11 представлены спектры губчатого железа, полученного восстановлением при 400 С (рис.11а) и подвергнутого затем карбидизации (рис.11б) в такой степени, что в карбидной фазе было связано около половины атомов железа. Здесь же приведены положения пиков поглощения для α -Fe и Fe_3C .

Видно, что спектр некарбидированного губчатого железа типичен для α -Fe, а в случае карбидированного железа является суперпозицией спектров α -Fe и Fe_3C . Кристаллическая структура цементита Fe_3C орторомбическая, в элементарной ячейке атомы Fe занимают два неэквивалентных положения, причем в первом неэквивалентном положении атом Fe окружен тремя атомами C и одиннадцатью атомами Fe, во втором неэквивалентном положении атом Fe имеет своими соседями два атома C и двенадцать атомов Fe. Цементит – ферромагнетик с температурой Кюри, изменяющейся в зависимости от стехиометрии от 187 до 477 К, поэтому при комнатной температуре спектр Fe_3C характеризуется магнитным расщеплением.

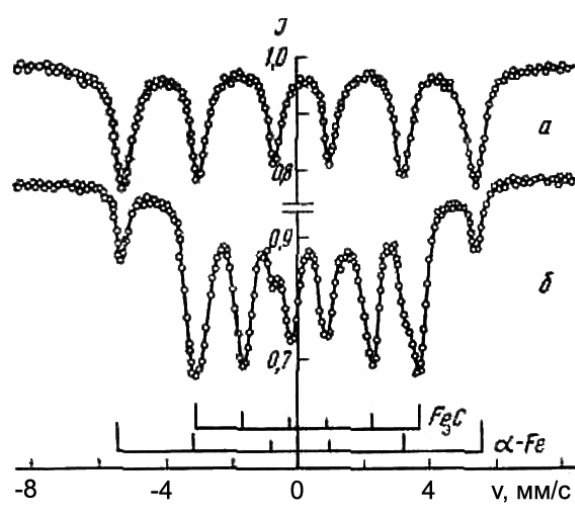


Рис. 11. Спектры поглощения железа
а - полученного восстановлением гематита в водороде при 400 С; б - подвергнутого затем карбидизации в токе CO при 410 С

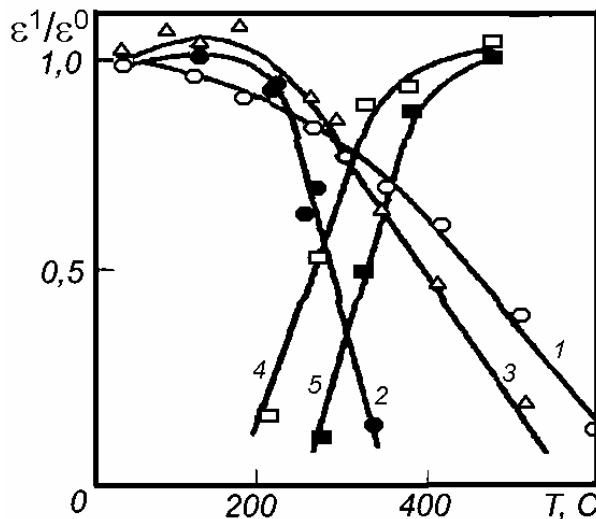


Рис.12. Относительное изменение поглощения резонансного γ -излучения $\varepsilon^1/\varepsilon^0$ для фаз окисленного материала от температуры окисления. 1 - α -Fe для чистого губчатого железа; 2 - α -Fe в карбидированном образце; 3 - Fe_3C ; 4 - Fe_3O_4 в чистом губчатом железе; 5 - Fe_3O_4 в карбидированном образце

На рис.12 представлены относительные изменения поглощения резонансного гамма-излучения $\varepsilon^1/\varepsilon^0$ для железосодержащих фаз от температуры окисления. За величину ε^0 для фазы, содержащейся с самого начала в образце, принимали интенсивность спектра этой фазы (ε^1 – интенсивность спектра этой фазы после окисления). Зависимости для фазы Fe_3O_4 , появляющейся в результате окисления, показывают, что не подвергнутое карбидизации губчатое железо начинает окисляться раньше. В карбидированном образце в интервале температур от комнатной до ~ 150 С наблюдается увеличение интенсивности линий цементита, максимум содержания которого приходится на температуру около 100 С. Это увеличение может быть связано либо с улучшением структуры цементита при повышении температуры, либо с переходом части атомов железа из состояния α -Fe в цементит в областях, насыщенных сажистым углеродом, либо с обоими факторами. При этом количество металлической фазы в карбидированном образце для интервала температур от комнатной до 200 С уменьшается с ростом температуры гораздо медленнее, чем в некарбидированном.

С ростом температуры выше 150 С начинается заметное окисление металлической фазы и в карбидированном образце, причем процесс окисления развивается более интенсивно, чем в чистом губчатом железе. Металлическая фаза в первом случае исчезает при 300 С, а во втором - при 600 С. Уменьшению количества этой фазы сопутствуют распад цементита и увеличение количества магнетита, причем при 500 С окисная фаза целиком представлена магнетитом. Отсюда можно сделать вывод, что при температурах выше 150 С наличие цементита в железной губке может ухудшить ее коррозионную стойкость. Возможно, это связано с распадом цементита и образованием в окисной пленке пузырьков CO и CO_2 , разрыхляющих слой. При температурах ниже 150 С карбидизация может приводить к пассивации железной губки, предположительно, за счет связывания в

цементит наиболее дефектных участков поверхности.

На рис.13 представлена зависимость доли атомов железа, связанных в Fe_3C , от температуры восстановления [24]. Наибольшее количество Fe_3C (около 80% от всего количества атомов железа) образуется в образце, полученном восстановлением при 350 С. Наименьшее количество (10-12% атомов Fe) связывается в Fe_3C в губке, полученной при 750 С. В целом, количество цементита монотонно уменьшается с ростом температуры восстановления. Большое количество Fe_3C в губке, полученной при 350 С, позволяет предположить, что при использованном режиме науглероживания в цементите связаны не только поверхностные, но и более глубоко лежащие слои атомов железа. Из рис.11 следует, что количество активных относительно реакции карбидизации центров тем больше, чем ниже температура восстановления.

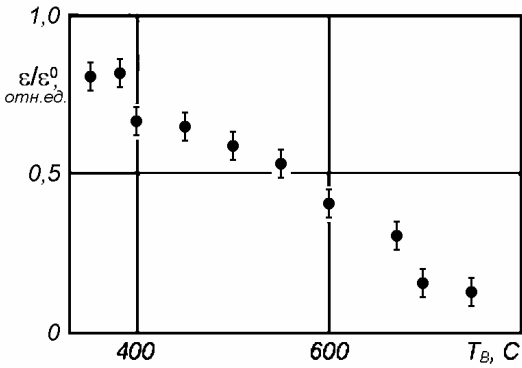


Рис.13. Зависимость относительного поглощения в цементите от температуры восстановления T_B губчатого железа

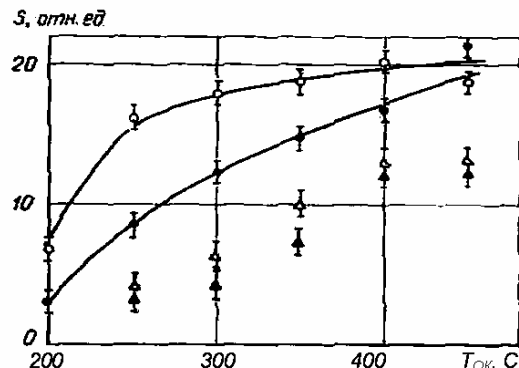


Рис.14. Зависимость прироста окисной фазы S от температуры окисления губчатого железа: ○ – восстановленного при 400 С; ● – восстановленного при 400 С и карбидизированного при 410 С; Δ - восстановленного при 750 С; ▲ - восстановленного при 750 С и карбидизированного при 410 С

Можно предположить, что активные центры могут быть в основном таковыми и в процессе окисления. Тогда, происходящее при карбидизации связывание в цементите наиболее сильно окисляющихся участков, может привести к некоторой пассивации. Эти соображения качественно подтверждаются зависимостями прироста окисной фазы от температуры окисления, представленными на рис.14, (время окисления при каждой температуре - 20 мин). Раньше всего начинает окисляться железо, восстановленное при более низкой температуре, причем до 250 С прирост окисной фазы наибольший. Карбидизация заметно изменяет температурную зависимость прироста, уменьшая его вплоть до 400 С. Но на губку, полученную при 750 С, карбидизация действует гораздо слабее, что указывает на более сложный характер влияния цементита на скорость окисления. Были оценены энергии активации Q процесса окисления $\alpha\text{-Fe}$ в Fe_3O_4 и Fe_3O_4 в $\alpha\text{-Fe}_2\text{O}_3$. Это позволило сделать вывод о ее росте при увеличении температуры восстановления от 400 до 700 С ($Q(\text{Fe}_2\text{O}_3)$ изменяется от $0,3 \pm 0,3$ до $4,0 \pm 0,5$ ккал/моль, а $Q(\text{Fe}_3\text{O}_4)$ - от $0,4 \pm 0,3$ до $5,0 \pm 0,5$ ккал/моль). Увеличение Q с ростом температуры восстановления может быть связано с существенно меньшей дефектностью кристаллической структуры при более высокой температуре восстановления, что приводит к меньшему потоку диффундирующих атомов в процессе окисления. Карбидизация губки, полученной при 400 С, увеличивает энергию активации Q вдвое ($Q(\text{Fe}_3\text{O}_4)=0,7 \pm 0,3$ ккал/моль и $Q(\text{Fe}_2\text{O}_3)=0,9 \pm 0,3$ ккал/моль).

С другой стороны, науглероживание губки, полученной при 750 С, вдвое снижает Q ($Q(\text{Fe}_3\text{O}_4)=1,9 \pm 0,4$ ккал/моль и $Q(\text{Fe}_2\text{O}_3)=2,9 \pm 0,4$ ккал/моль). Следовательно, можно предположить, что карбидизация влияет на скорость окисления двояко: уменьшает ее за счет химического связывания части активных участков поверхности и, вместе с тем, может увеличить скорость окисления, возможно, из-за структурного несоответствия решеток $\alpha\text{-Fe}$ и Fe_3C . Если губка получена при 400 С, то, по-видимому, сокращение площади настолько значительно, что оказывает решающее влияние на снижение скорости окисления. На различную степень дефектности кристаллической структуры исследованных образцов указывают и температуры, соответствующие порогу окисления. Например, температура порога окисления составляет 120 и 200 С для губки, полученной восстановлением при 400 и 700 С, соответственно.

Практический результат данного этапа исследования железорудных материалов заключается в разработке высокоэффективного и надежного способа защиты произведенных металлизованных окатышей от вторичного окисления путем нанесения на их поверхность отходов производства диметилтерефталата. Нанесенный слой вязких в широком температурном диапазоне отходов диметилтерефталата надежно защищает окатыши от вторичного окисления в газовой (воздушной) и жидкой (водной) среде [25].

Влияние добавок церия на распределение примесей в феррите серых чугунов

Рассмотрим мессбауэровский спектр поглощения феррита серого чугуна [26]. Феррит является одной из основных фаз чугунов и представляет собой твердый раствор внедрения углерода в $\alpha\text{-Fe}$, легированный примесями замещения марганца, кремния и других элементов. Содержание примесей в феррите и их распределение

по объему зерен зависят от исходных продуктов и условий кристаллизации чугуна. Для исследования свойств отдельных железосодержащих фаз чугунов с помощью мессбауэровской спектроскопии на ядрах ^{57}Fe необходимо определить суммарное воздействие химических элементов, входящих в состав чугунов, на спектры поглощения этих соединений. В случае феррита основными по массе примесями будут атомы кремния и марганца.

Серый чугун имел химический состав: 3,01% C; 1,15% Si; 0,83% Mn; 0,037% P; 0,006% S (вес). Металлографический анализ показал, что в чугуне графит имеет пластинчатую форму, а металлическая основа - перлитное строение (рис.15). На рис.16 представлен спектр поглощения. Видно, что спектр является шестилинейчатым с асимметричными линиями. В сплавах Fe-Si, содержащих не более 3ат.% Si имеется два неэквивалентных положения атомов железа в сплаве. Первое из этих положений (FeI) не имеет в своей первой координационной сфере примесных атомов кремния и поэтому характеризуется спектром чистого $\alpha\text{-Fe}$, а второе (FeII) имеет в своей первой координационной сфере один примесный атом и характеризуется меньшим значением магнитного поля на ядрах ^{57}Fe . При этом ширины линий для FeI и FeII оказываются примерно равными ширине линий спектра $\alpha\text{-Fe}$. Суммарное содержание кремния и марганца в нашем случае соответствует примерно 3ат.%. В соответствии с экспериментальными данными для сплавов Fe-Si [26], отношение интенсивности спектра для FeI к интенсивности спектра для FeII в сплаве Fe-2,29ат.%Si должно быть равно 3, а в сплаве Fe-3ат.%Si - 2,44. Для чугуна же это отношение оказывается значительно меньше (1,52), а ширина линии для спектра FeII в 1,65 раза больше, чем для спектра FeI (ширина линии для FeI равна 0,35 мм/с, для FeII - 0,58 мм/с). Суммарное возмущающее действие примесей кремния и марганца, находящихся одновременно в решетке феррита, сильнее, чем возмущение от такого же количества кремния или марганца. Это может быть вызвано наличием вклада от атомов кремния и марганца, находящихся в более удаленных координационных сферах, причем этот вклад примерно равен вкладу от примесей в первой координационной сфере. Предположение о примерно равных величинах вкладов в магнитное поле на ядрах ^{57}Fe в положениях FeII от примесей кремния и марганца, находящихся в первой и более удаленных координационных сферах, подтверждается тем, что магнитное поле на ядрах ^{57}Fe в положениях FeII имеет среднюю величину (305 ± 7) кЭ.

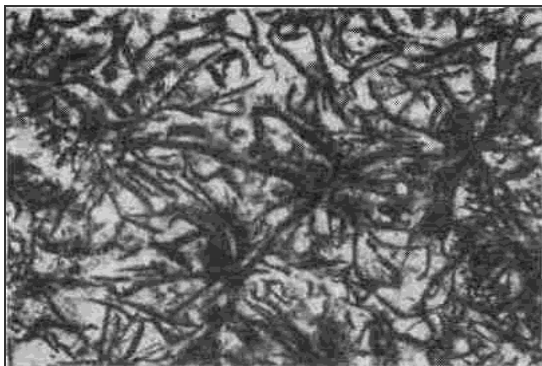


Рис.15. Микрофотография поверхности чугуна

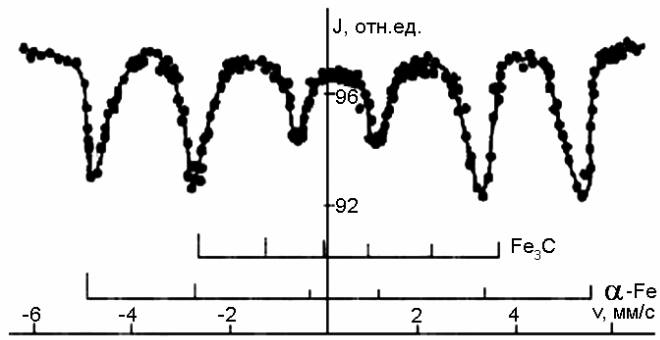


Рис.16. Мессбауэровский спектр поглощения серого чугуна

Рассмотрим взаимное влияние легирующих компонентов чугунов на их растворимость и распределение по узлам кристаллической решетки феррита и цементита серых чугунов, содержащих различное количество церевого модификатора зерен графита [27]. В общем случае мессбауэровский спектр не подвергнутого закалке чугуна должен быть суперпозицией спектров двух его основных железосодержащих фаз - феррита и цементита. Наличие примесей в феррите приводит к появлению неэквивалентных положений атомов железа в его кристаллической решетке. Чугуны доэвтектического состава получали в индукционной печи.

Металлографический анализ показывает, что форма зерен графита изменяется с возрастанием концентрации церия (рис.17). В немодифицированном чугуне графит кристаллизуется в виде розеток и отдельных пластин без предпочтительной ориентации. Металлическая матрица этого сплава имеет перлитно-ферритную микроструктуру (рис.17а). В чугуне с содержанием церия 0,06%, зерна графита приобретают неправильную форму, а металлическая матрица состоит из перлита и феррита (рис.17б). При увеличении концентрации церия до 0,29% в чугуне, наряду с графитом неправильной и глобулярной формы, появляются аустенитно-графитные колонии (рис.17в). Ферритная составляющая в структуре этого сплава полностью исчезает. Повышение содержания церия до 0,58% приводит к формированию графитных включений разветвленной (крабообразной) формы и появлению в металлической основе чугуна грубых конгломератов ледебурита (рис.17г). В структуре плавки с 1,31% Ce (рис.17д) значительно увеличилось количество перлита и доли графитной эвтектики. Отжиг не приводит к существенному изменению формы зерен графита в чугунах, содержащих 0,06; 0,29; 1,31% Ce, вызывая увеличение количества феррита в чугунах с 0,06 и 0,29% Ce. Микроструктура сплава с 1,31% Ce после отжига представлена перлитом. В отожженном чугуне, содержащем 0,58% Ce, наряду с частичной графитизацией цементита, укрупнением и коагуляцией графитных зерен наблюдается близкая к шаровидной форме зерен графита с несколько разветвленными краями и тонкой ферритной оторочкой.

На рис.18 показаны некоторые спектры исследовавшихся чугунов. Здесь же «гребенками» показаны полу-

жения линий в спектрах цементита Fe_3C и $\alpha\text{-Fe}$ при комнатной температуре. Спектр рис.18а, относящийся к немодифицированному чугуну, похож на спектры сплавов замещения на основе $\alpha\text{-Fe}$ (например, сплавов Fe-Si). Отжиг во всех случаях приводит к исчезновению линий цементита, присутствующего в модифицированном чугуне до отжига (рис.18б). Вид спектра отожженного чугуна, содержащего 0,58% Ce (рис.18в), совпадает со спектром немодифицированного чугуна (рис.18а). Эти спектры, в основном, связаны с положениями атомов железа в феррите. Анализ спектров, отнесенных к фазе феррита, производили при упрощающем предположении, что спектр является суперпозицией двух шестилинейчатых спектров от положений FeI и FeII . Положения FeI относятся к атомам железа, далеким от примесей, поэтому спектр поглощения их можно считать совпадающим со спектром $\alpha\text{-Fe}$. Положения FeII относятся к атомам железа, находящимся в областях возмущений примесными атомами. Во всех случаях спектр FeII характеризуется шириной линии, значительно превышающей ширину линии FeI даже после отжига. Это может быть связано с тем, что положения FeII объединяют различные неэквивалентные положения атомов железа, характеризующихся различающимися параметрами. Отношение интенсивностей спектров $S(\text{FeI})/S(\text{FeII})$ для положений FeI и FeII последовательно падает при увеличении суммарного содержания кремния и марганца и соответственно уменьшении числа положений FeI . Введение 1,15% Ce приводит к некоторому снижению отношения $S(\text{FeI})/S(\text{FeII})$. При дальнейшем увеличении содержания церия наблюдается такая же картина, что связано с влиянием добавок церия на количество и распределение примесей в решетке феррита. Число положений FeI уменьшается с ростом содержания церия.

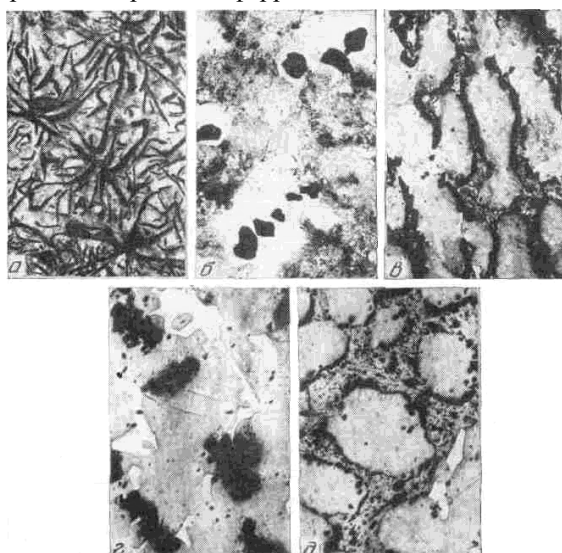


Рис.17. Микроструктуры чугунов до отжига (x270)

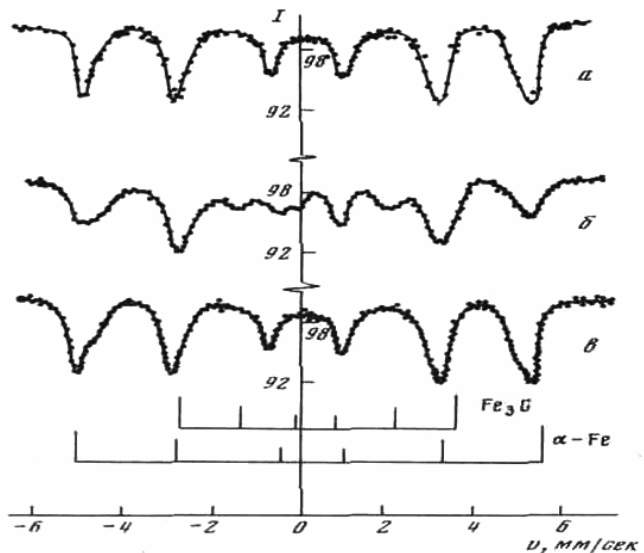


Рис.18. Мессбауэровские спектры поглощения чугуна немодифицированного (а), модифицированного до отжига (б) и после отжига (в)

Отжиг приводит к уменьшению ширины линии и увеличению числа положений FeI . Это связано с очисткой тела ферритных зерен. Влияние отжига, приводящего к очистке зерна чугунов, что проявляется в увеличении относительной концентрации узлов FeI , показано на 3D-диаграммах (рис.19-20).

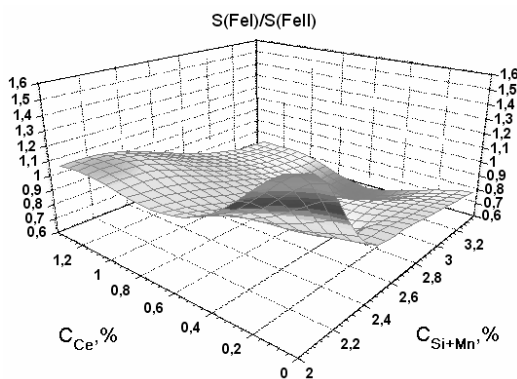


Рис.19. Зависимость относительного содержания узлов FeI в цериевых чугунах от концентрации церия C_{Ce} и суммарной концентрации $C_{(\text{Si}+\text{Mn})}$ до отжига

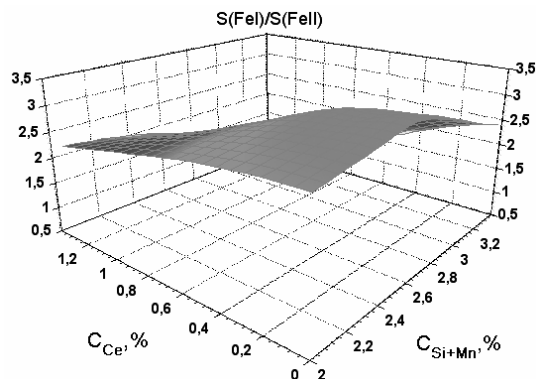


Рис.20. Зависимость относительного содержания узлов FeI в цериевых чугунах от концентрации церия C_{Ce} и суммарной концентрации $C_{(\text{Si}+\text{Mn})}$ после отжига

Величина магнитного поля на ядрах железа ^{57}Fe , находящихся в положениях FeI, совпада с соответствующим значением для $\alpha\text{-Fe}$. Для положений FeII величина магнитного поля $H(\text{FeII})$ на ядрах ^{57}Fe в среднем было равна 307 кЭ и не зависела от составов чугунов. Для цементита величина магнитного поля на ядрах ^{57}Fe , в среднем, была равна 205 ± 10 кЭ, что попадает в интервал известных значений для этого соединения. На следующем этапе передела получаем железо различной чистоты и стали разнообразного сортамента.

Структура приповерхностных слоев железа после ионного облучения и изохронного отжига

Имитационные эксперименты, использующие облучение тяжелыми ионами, достаточно эффективны при предварительном отборе перспективных материалов и прогнозировании результатов реакторных испытаний. При ионном облучении радиационные повреждения создаются в поверхностном слое, глубиной порядка 1000 Å. Исследование возврата свойств облученного $\alpha\text{-Fe}$ идентификация радиационных дефектов способствуют более полному пониманию основных механизмов, определяющих высокую радиационную стойкость феррита [28]. Конфигурации комплексов радиационных дефектов и их эволюция при отжиге зависят от присутствия

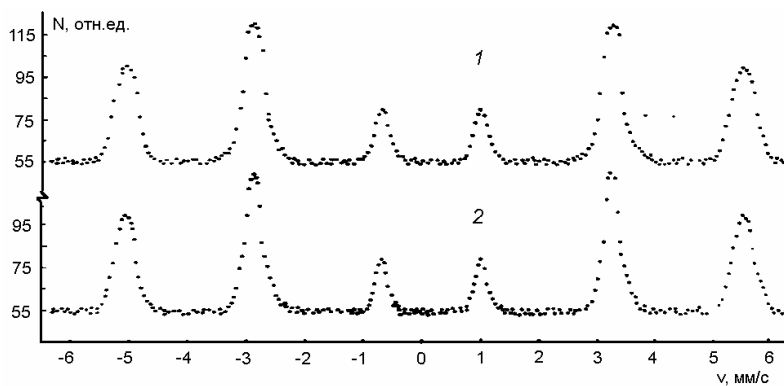


Рис.21. МСКЭ спектры рассеяния $\alpha\text{-Fe}$ после облучения ($T=500$ С, $\Phi=1,5 \cdot 10^{17} \text{ см}^{-2}$): 1 – облученная сторона; 2 – необлученная сторона

гом, воздействие которого на величину плотности дислокаций возрастает с увеличением потока и по степени влияния сравнимо с применявшимся после облучения изохронным отжигом. Облучение при 500 С приводит к снижению плотности дислокаций до $0,3 \cdot 10^{11} \text{ см}^{-2}$ для всех значений потока.

Облучение при комнатной температуре и 500 С не изменяет вида мессбауэровского спектра: он остается шестилинейчатым, но наблюдается симметричное уширение спектральных линий, возрастающее с ростом потока (рис.21). Уширение свидетельствует о появлении под влиянием облучения неэквивалентных положений атомов Fe в решетке. Для выяснения причин уширения линий мессбауэровских спектров проводили изохронный отжиг облученных фольг. На рис.22 представлены температурные зависимости средних значений полуширины Г линий мессбауэровского спектра, облученного при комнатной температуре $\alpha\text{-Fe}$. ($\Phi=1,4 \cdot 10^{17} \text{ см}^{-2}$). Видно, что отжиг уменьшает Г для облученной и необлученной сторон фольги.

Уширение линии связано с упругими напряжениями, причем источниками полей деформации в решетке $\alpha\text{-Fe}$ могут быть вакансии и различные комплексы дефектов вакансионного и междуузельного типов. Облучение $\alpha\text{-Fe}$ при температуре комнатной и 500 С приводит к разным наборам радиационных дефектов. При комнатной температуре облучения дислокации и неподвижные вакансии являются эффективными стоками точечных дефектов, поэтому наиболее вероятно образование скоплений междуузельного типа и мелких вакансионных кластеров. При температуре облучения 500 С возрастает вероятность образования крупных пор, и исчезает значительная доля мелких комплексов, поэтому при высокотемпературном облучении следует ожидать меньшее уширение мессбауэровских спектров при том же потоке Φ . Экспериментальные данные не соответствуют этому предположению: зависимости Г от температуры облучения не было выявлено [28].

Основной причиной уширения линий спектров являются поля деформации от междуузельных атомов углерода, их скоплений и аморфных выделений карбидов. В случае выделений одного типа в металле уширение $\Delta\Gamma$ линий мессбауэровского спектра ядер в металлах связано с полями деформаций и пропорционально $\delta V/V$, где $\delta V/V$ – отношение объема δV выделений к объему V металла (если количество выделений мало). Если же число выделений нельзя считать малым, то $\Delta\Gamma \sim (\delta V/V)^{1/2}$. Учитывая, что междуузельные атомы углерода, их скопления и выделения карбидов создают в решетке феррита упругие напряжения одного знака, из температурной зависимости уширения спектральных мессбауэровских линий можно грубо оценить энергию активации Q процесса, ответственного за уширение. Такая оценка была произведена с помощью уравнения Аврами: $\delta V/V = 1 - \exp(-Kt^n)$, где K – константа скорости реакции, обычно предполагаемая экспоненциально зависящей от Q : $K \sim \exp(Q/kT)$; k – постоянная Больцмана; T – абсолютная температура; t – длительность отжига; n – порядок реакции. Из наклона зависимостей $\ln \ln [1/(1-\delta V/V)]$ для случая $\Delta\Gamma \sim (\delta V/V)^{1/2}$ получено $Q = (0,3 \pm 0,1)$ эВ. Эта энергия активации с точностью до экспериментальной ошибки совпадает с энергией активации роста выделений цементита в стали (~0,3 эВ [29]).

междуузельных примесей. Облучение ионами Fe^{4+} с энергией $E=600$ кэВ участка фольги карбонильного железа проводили на ускорителе тяжелых ионов в вакууме $1,3 \cdot 10^{-2}$ Па при температурах 300 и 500 С потоками $\Phi=4 \cdot 10^{16}$; $1 \cdot 10^{17}$; $1,4 \cdot 10^{17} \text{ см}^{-2}$. Плотность дислокаций для деформированных фольг равнялась $2,5 \cdot 10^{11} \text{ см}^{-2}$. Отжиг при 450 С снижает ее до $1 \cdot 10^{11} \text{ см}^{-2}$. После имплантации плотность дислокаций на облученной стороне фольги снижается до $0,7 \cdot 10^{11} \text{ см}^{-2}$ для $\Phi=4 \cdot 10^{16} \text{ см}^{-2}$ и до $0,4 \cdot 10^{11} \text{ см}^{-2}$ для $\Phi=1,4 \cdot 10^{17} \text{ см}^{-2}$. Имплантация при комнатной температуре сопровождается радиационным отжигом

Электронные свойства металлов и сплавов оказывают существенное влияние на формирование границ зерен и их свойства, например, на сегрегацию примесей на границах и на поверхности. Возможно усиление ковалентных связей между атомами переходного металла и сегрегирующими атомами металлоидов в сплаве за счет ослабления связей типа металл-металл, что может вызывать охрупчивание. Разработанные методы анализа сплавов с микродобавками нашли практическое применение при создании сталей типа HSLA [30]. Этот класс сталей базируется на принципе низкого уровня выбранных легирующих компонентов. При оптимальном режиме горячей деформации достигается формирование и стабилизация мелкозернистого аустенита и игольчатого феррита, упрочненных выделениями карбонитридных фаз, сдерживающих движение границ зерен аустенита.

Для ядер-зондов ^{57}Fe увеличение изомерного сдвига в сторону положительных значений соответствует уменьшению s-электронной плотности при увеличении общего числа электронов. С другой стороны, значения доли «внеостовных» электронов свидетельствуют об имеющейся корреляции между уменьшением s-электронной плотности на ядрах-зондах и уменьшением доли «внеостовных» электронов [31]. Это свидетельствует как о переносе заряда, так и о возможном увеличении степени ковалентности связи между атомами в переходных металлах при увеличении доли «внеостовных» d-электронов. Приведенные результаты можно переформулировать в терминах статистического веса атомных стабильных конфигураций (СВАСК), предложенного для оценки относительной стабильности электронных s-конфигураций в металле [32]. СВАСК определяется количеством локализованных s-электронов в металле. Как видно из представленных на рис.23 результатов, степень низкотемпературного радиационного охрупчивания материалов (определенная как относительное изменение равномерного удлинения S в результате облучения) увеличивается с ростом количества локализованных электронов в металле. Эти электроны могут участвовать в ковалентных направленных связях.

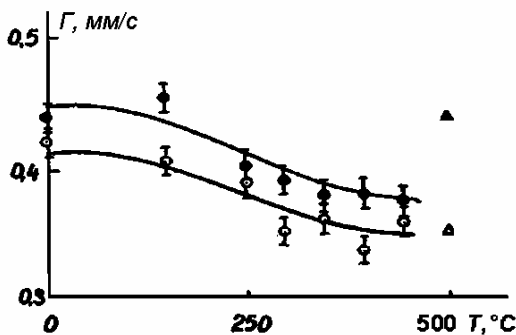


Рис.22. Зависимости от температуры отжига полуширины линии мессбауэровских спектров рассеяния Г облученной при 300 С (●) и необлученной (○) сторон фольги $\alpha\text{-Fe}$.

Справа - Г для $\alpha\text{-Fe}$, облученного при 500 С таким же потоком
(Δ - необлученная сторона; ▲ - облученная сторона)

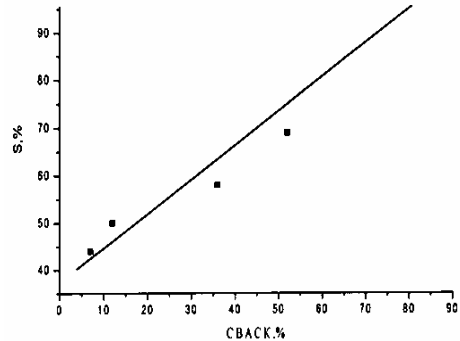


Рис.23. Зависимость величины радиационного охрупчивания (S,%) от параметра СВАСК
Слева направо: медь, никель, железо, хром.

Предложенный метод обнаружения упругих напряжений может быть с успехом использован при исследовании других металлов путем введения в них ядерных зондов, например, ядер-зондов ^{57}Fe . Например, в связи с обнаруженными значительными упругими напряжениями в ОЦК железе при ионном облучении, актуальной задачей является анализ упругих напряжений в близких по структуре сплавах на основе ОЦК ванадия, которые обладают привлекательными свойствами для применений в термоядерных реакторах. Высокотемпературную прочность ванадия можно улучшить путем создания сплавов V-(1,7-2,4вес.%)Y, но примеси внедрения могут вызвать как ухудшение механических свойств, так и высокую наведенную активность. Поэтому важной задачей для metallurgии ванадиевых сплавов является анализ взаимодействия V с примесями внедрения, такими как C, O и N. Легирование сплава V- ^{57}Fe оловом, алюминием, кремнием и иттрием изменяет растворимость в нем кислорода и азота и приводит к значительному уширению $\Delta G/G$ мессбауэровских спектров, указывающему на рост анизотропных напряжений[33]. Одновременно наблюдается прирост параметра решетки $\Delta a/a$ при увеличении содержания O и N в решетке ванадия По мере насыщения решетки примесями внедрения степень анизотропии напряжений падает. Уменьшение анизотропии может быть связано с упорядочением междуузельных атомов в решетке. Полуширина спектра рассеяния в 1,4 раза больше полуширины спектров поглощения. Такое различие свидетельствует о более высоком содержании примесей внедрения в приповерхностном слое и, соответственно, более сильных упругих напряжениях в нем, по сравнению со средними напряжениями в объеме. Подобные процессы взаимодействия примесей внедрения с поверхностью могут приводить к аморфизации тонких пленок железа, хрома и других металлов при лазерном импульсном осаждении конденсаторов [34, 35].

МЕССБАУЭРОВСКОЕ ИССЛЕДОВАНИЕ $\gamma \rightarrow \alpha$ ПРЕВРАЩЕНИЯ ПРИ ТЕРМОМЕХАНИЧЕСКОЙ ОБРАБОТКЕ, ОБЛУЧЕНИИ И КОРРОЗИИ СТАЛЕЙ

Рассмотрим некоторые вопросы, связанные с ядерно-физическими исследованиями процессов термомеханической обработки, сварки, облучения и коррозии аустенитных коррозионностойких сталей. Аустенитные коррозионностойкие хромоникелевые стали широко применяются в ядерной энергетике в качестве конструкций

онного материала элементов активной зоны ядерных реакторов. Кроме того, аустенитные стали являются основными конструкционными материалами установок термоядерного синтеза, ускорителей и других высоковакуумных устройств и, таким образом, предназначены для работы в условиях интенсивного радиационного воздействия, тепловых нагрузок и механических напряжений. Изучение процессов образования и взаимодействия радиационных и деформационных дефектов в сталях (типа 12Х18Н10Т и 08Х16Н11М3Б) для ядерной энергетики важно для понимания механизмов структурно-фазовых превращений с целью прогнозирования процессов, происходящих в активной зоне ядерных реакторов.

Структурно-фазовое состояние аустенитных коррозионностойких сталей и его изменения, включающие фазовые превращения, модифицирование структуры, выпадение вторых фаз и т.п., во многом определяют эксплуатационные свойства изделий и конструкций в условиях воздействия термических, механических, радиационных нагрузок, а также коррозионно-активных сред. В частности, большое внимание уделяется $\gamma \rightarrow \alpha$ превращению, протекающему в аустенитных сталях при механическом и радиационном воздействии, причем механизм этого превращения различен. Экспериментальные данные свидетельствуют, что существует тесная взаимосвязь между протеканием $\gamma \rightarrow \alpha$ превращения, вызванного холодной деформацией, внешним давлением, выделением оксидных фаз, микролегированием и изменением текстуры сталей, сегрегацией примесей на поверхности и границах раздела, величиной зерна аустенита. Это указывает на необходимость комплексного исследования $\gamma \rightarrow \alpha$ превращения при термомеханической обработке и облучении сталей.

Мессбауэровское исследование $\gamma \rightarrow \alpha$ превращений в приповерхностных слоях аустенитных сталей показало существенное отличие протекания $\gamma \rightarrow \alpha$ превращения в поверхностных слоях от аналогичного превращения в объеме сталей при холодной пластической деформации и коррозии в различных средах [36, 37]. При ТМО аустенитных коррозионно-стойких сталей применяются температурные режимы, включающие, в частности, аустенизацию (отжиг или закалку), различные стабилизирующие отжиги, а также вакуумную горячую и холодную (при комнатной температуре) деформации. В указанных процессах используется эффект существования $\alpha \rightarrow \gamma$, $\gamma \rightarrow \alpha$ превращений. Сущность технологического поиска ТМО заключается в том, чтобы получить благоприятное структурно-фазовое состояние материала, обуславливающего реализацию требуемых радиационных, коррозионных и механических свойств. Наименее изучены экспериментально эти превращения в приповерхностных слоях сталей.

Модифицирование, например, легирование редкоземельными металлами (РЗМ) широко используется для получения сталей и сплавов со специальными свойствами. Целесообразно получение данных о фазовых и структурных изменениях на различных этапах ТМО при модифицировании добавками РЗМ аустенитных коррозионно-стойких сталей [38]. Согласно мессбауэровским, металлографическим и рентгеноструктурным данным, в исходном состоянии основной фазой в отожженных сталях 08Х16Н15М3Б, 06Х16Н15М3Б, 12Х18Н10Т является парамагнитный при комнатной температуре аустенит с текстурой $\{110\} <112>$, унаследованной от горячей вакуумной прокатки (рис.24-27). Структура стали 12Х18Н10Т в исходном состоянии, выявленная электролитическим травлением в концентрированном растворе азотной кислоты, – это однородный легированный γ -твердый раствор. Границы зерен тонкие, прерывистые. В крупнозернистом аустените видны двойники. По электронномикроскопическим данным, структура исходной стали представляет собой аустенитную матрицу (γ -Fe, параметр решетки $a=3,564\text{\AA}$), упрочненную выделениями мелкодисперсной второй фазы (рис.26). Электронограммы углеродных реплик показали, что выделения второй фазы – это некогерентные частицы карбида титана с параметром решетки $a=4,325\text{\AA}$.

Холодная деформация прокаткой при комнатной температуре приводит к развитию в приповерхностных слоях мартенситного $\gamma \rightarrow \alpha$ превращения, интенсивность которого зависит от состава стали и степени обжатия. Так, в мессбауэровских спектрах рассеяния деформированных образцов стали 12Х18Н10Т уже на ранних стадиях деформации дополнительно к одиночной линии γ -фазы, характеризующий спектр этой стали до прокатки, появляются линии α -фазы, вызванные протеканием $\gamma \rightarrow \alpha$ перехода при пластической деформации (рис.28). После проведения отжигов (аустенизирующего и комбинированного) в исследуемой стали происходит обратное $\alpha \rightarrow \gamma$ -превращение при указанных температурах и формируется текстура обратного фазового превращения, о чем свидетельствует восстановление параметров спектра γ -фазы (рис.28в). Последующие отжиги так же приводили к восстановлению спектра γ -фазы. Модифицирование базовых сталей добавками РЗМ по данным мессбауэровского и рентгеноструктурного анализов не приводит к существенному изменению их фазового состояния. Основной фазой, по-прежнему, является аустенит. Для модифицированной стали 12Х18Н10Т текстура прокатки сохраняется, но линии аустенита уширены, что указывает на искажение решетки аустенита при модифицировании добавками РЗМ.

Экспериментальные исследования поверхностных слоев различной глубины аустенитной коррозионно-стойкой стали 12Х18Н10Т и модифицированного добавками РЗМ аналога показали, что ход и интенсивность протекания $\gamma \rightarrow \alpha$ превращения существенно зависят от внешних воздействий: пластической деформации, термической обработки, сварки, коррозии. Более того, было показано, что и в исходном состоянии поставки в образцах стали наблюдается неоднородность структурно-фазового состояния в поверхностных слоях глубиной до 20 мкм. Возможно, это связано с общей тенденцией повышения содержания легирующих элементов в поверхностном слое в сталях класса 18-10, выплавляемых с добавками лома металлов, за счет их сегрегации, в частно-

сти, меди. Поэтому при создании ответственных узлов ускорительной и криогенной техники желателен входной контроль фазового состава и структурно-фазового состояния поверхности поставляемого проката сталей. Важным результатом, полученным в работе [38], является обнаружение ускорения $\gamma \rightarrow \alpha$ превращения при модификации исходной стали.

Кроме того, модификация приводит к дополнительному фазовому расслоению магнитной α -фазы. ТМО может сгладить различия в структуре и текстуре стали, вносимые при модификации, сохранив основные преимущества дополнительно легированных сталей в условиях облучения и коррозии. При этом следует иметь в виду, что полученные экспериментальные результаты для модификации сталей согласуются с основными особенностями поведения химически активных добавок (к которым относятся и РЗМ) в стальах. Так, растворимость элемента-модификатора и его химическая активность способствуют перераспределению других примесей в твердом растворе. Далее, степень однородности распределения элемента-модификатора зависит от времени взаимодействия с дефектами, что может приводить и к сегрегации на дефектах. Таким образом, может возникать сегрегация атомов модифицирующего элемента на границах зерен, межфазных границах и внешней поверхности. Кроме того, модификация сталей приводит к выделению вторых фаз, содержащих атомы добавки и компонент сплава, включая вредные примеси. Выделение этих фаз происходит в основном по границам в результате специально подобранный ТМО сталей. Сегрегация примесей фаз может существенно изменить ход фазовых превращений, дисперсность частиц вторых фаз, что и наблюдается в нашем случае.

Облучение ионами Fe^{4+} участка фольги поверхности стали X18H10T проводили на ускорителе тяжелых ионов при комнатной температуре ($\Phi = 4 \cdot 10^{16}; 1 \cdot 10^{17}; 1,4 \cdot 10^{17} \text{ см}^{-2}$). Облучение приводит к обратному $\alpha \rightarrow \gamma$ превращению (рис.25), что проявляется в исчезновении линий α -фазы. Эти процессы вызваны как радиационным отжигом, так и введением дефектов, о чем свидетельствует также уширение линии γ -фазы.

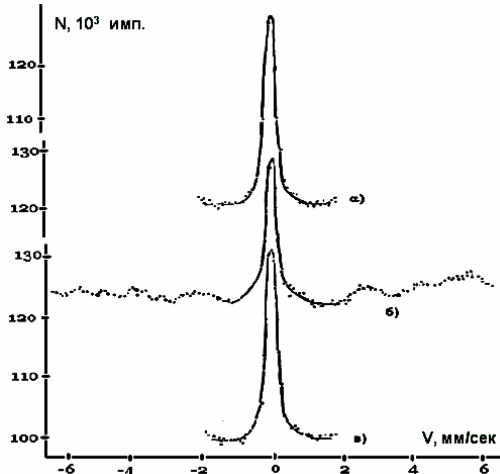


Рис.24. Мессбауэровские спектры рассеяния стали 08X16H15M3Б.

- а) исходный образец, отжиг 1050 С,
- б) деформированный до 80% обжатия,
- в) деформация и отжиг (1050 С, 30 мин.)

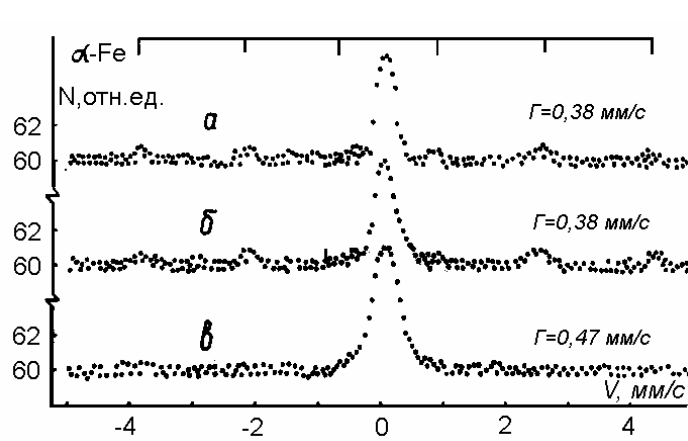


Рис.25. МСКЭ спектры рассеяния поверхности стали X18H10T.

- а) деформированный образец;
- б) необлученная сторона образца;
- в) облученная сторона образца.

Гребенка – положение линий α -фазы

Известно, что реакторное облучение нейтронами сопровождается облучением γ -квантами. В активных зонах реакторов поток γ -излучения с энергией более 0,2 МэВ составляет $10^{13} - 10^{16} \text{ см}^{-2}$, что приводит к радиационному γ -отжигу. При этом соответственно изменяются и свойства облучаемого материала. Эффект радиационного отжига определяется величиной плотности потока γ -излучения, и в количественном отношении эффективность воздействия γ -излучения достаточно велика. Данных о влиянии γ -облучения на структуру, фазовый состав и кинетику $\gamma \rightarrow \alpha$ превращения в деформированных austенитных стальях 12X18H10T и 08X16H15M3Б недостаточно для надежного прогнозирования их эксплуатационных характеристик. Кроме того, интенсивное γ -облучение сталей может быть использовано для имитации эффектов облучения, действующего на конструкционные материалы ядерных реакторов, ускорителей, накопительных колец и плазменных установок. Это послужило основанием для проведения исследования структурно-фазовых превращений в стальях при отжиге, деформации и гамма-облучении [39-41].

Наряду с массивными образцами (пластины) изучали кинетику образования мартенсита при деформации отожженных фольг толщиной ~50 мкм. Следует отметить, что холодная прокатка сталей 12X18H10T и 08X16H11M3Б с обжатием до 80% практически не приводит к изменению ширины линий γ -фазы. В отличие от массивных образцов, изменение величины резонансного рассеяния ϵ/ϵ_0 , характеризующее развитие мартенситного $\gamma \rightarrow \alpha$ превращения наблюдалось лишь в фольгах стали 12X18H10T. Образцы стали 08X16H11M3Б были деформационно стабильны в изучаемых условиях. Для тонких фольг проявляется специфическая особенность при модификации, по-видимому, играющая важную роль при прокатке тонкой ленты. Холодная пластическая

деформация приводит к частичному мартенситному $\gamma \rightarrow \alpha$ превращению, зависящему от содержания никеля в сталях. Кинетика $\gamma \rightarrow \alpha$ превращения зависит от степени холодной пластической деформации, размера зерна отожженного аустенита в исходном состоянии. В крупнозернистом аустените зародыши феррита образуются на границах двойников отжига и имеют пластинчатую форму. После больших степеней деформации феррит имеет глобулярную форму. Деформация мелкозернистого аустенита ведет к образованию глобулярного феррита по границам аустенитных зерен. Уменьшение размера зерна аустенита ускоряет $\gamma \rightarrow \alpha$ превращение, к этому же приводит и увеличение степени предварительной деформации аустенита. С помощью ТМО можно регулировать величину зерна аустенита, с обязательным учетом различных механизмов роста зерна [40].

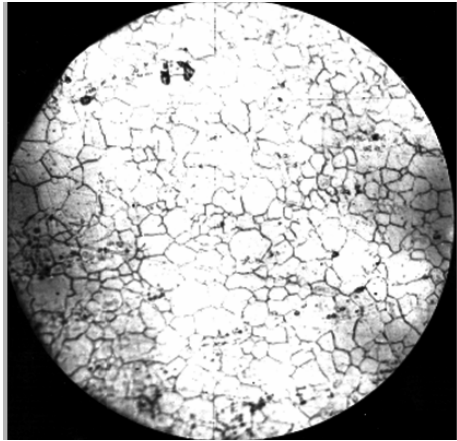


Рис.26. Микроструктура стали 12Х18Н10Т в исходном состоянии ($\times 300$)

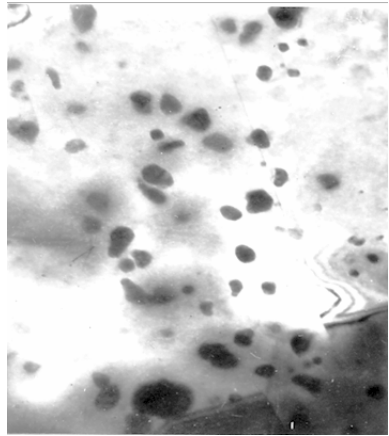


Рис.27. Микрофотография стали 12Х18Н10Т в исходном состоянии после отжига при 1323 К в течение 0,5 час. ($\times 50000$)

Аустенитные коррозионностойкие стали могут обладать различным уровнем пластической деформации на разных участках деталей после ТМО. Особенно большую плотность дислокаций и других дефектов следует ожидать в тонком приповерхностном слое (до 1 мкм). Соответственно, будут наблюдаться отличия в поведении этого слоя от объема материала при облучении. Совместное влияние пластической деформации и облучения на поверхность стали приводят к изменению локального окружения ядер железа в приповерхностном слое и, возможно, обратному $\alpha \rightarrow \gamma$ превращению. В отличие от приповерхностного слоя толщиной ~0,1 мкм, в котором облучение приводит к увеличению содержания γ -фазы в более толстом приповерхностном слое (до 3 мкм) преобладает скорее уменьшение количества γ -фазы.

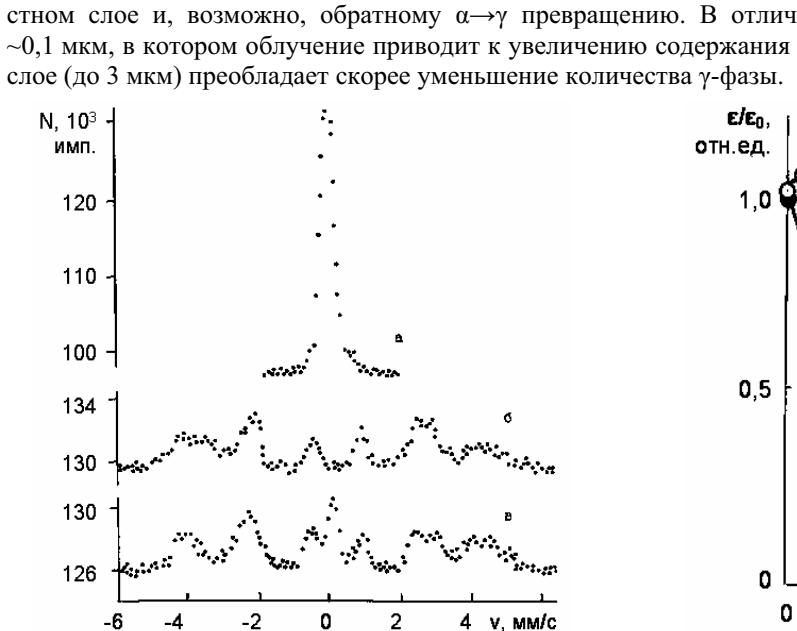


Рис.28. Спектры рассеяния стали 12Х18Н10Т
а) после отжига, б) после деформации ($\eta = 20\%$),
в) после деформации ($\eta = 80\%$) и отжига при 893 К
в течение 1 ч.

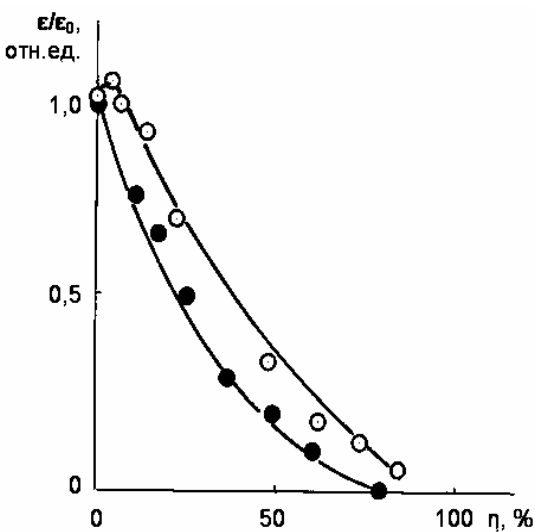


Рис.29. Зависимость относительного содержания γ -фазы в слое толщиной 0,1 мкм от степени обжатия η при прокатке стали 12Х18Н10Т в необлученном (●) и облученном (○) состояниях.
Погрешность в пределах контура экспериментальной точки.

Рассмотрим аустенитную коррозионностойкую сталь 08Х16Н11М3Б. Гамма-облучение отожженного образца приводит к существенным изменениям его структурно-фазового состояния. Облучение γ -квантами приводит к изменению интенсивности рефлексов, что очевидно, связано с характером изменения текстуроированности образца при увеличении обжатия и последующего радиационного воздействия. Известно, что вид напряженно-деформированного состояния и величина пластической деформации определяют характер текстуры, формирующейся в поликристаллических телах. В свою очередь, текстура может оказывать существенное влияние на энергосиловые параметры пластической деформации и изменять влияние радиационного воздействия.

Подобным же образом на структуру толстых (до 3 мкм) поверхностных слоев оказывается γ -облучение стали 12Х18Н10Т. На примере стали 12Х18Н10Т рассмотрим воздействие γ -облучения на структуру и фазовый состав тонкого поверхностного слоя толщиной до 0,1 мкм (рис.29). Основной фазой до облучения является аустенит, количество которого неодинаково на различных участках зависимости относительного содержания γ -фазы от степени обжатия η . Облучение γ -квантами приводит к увеличению количества аустенита в приповерхностном слое, о чем свидетельствует соответствующее изменение интенсивности линии γ -фазы, которое после облучения достигает характерного для отожженного материала значения. Интенсивность и ширина линии γ -фазы при воздействии γ -облучения не претерпевают изменений. К уже отмеченному эффекту упорядочения под влиянием γ -облучения добавляются эффекты увеличения диффузии компонентов сплавов. Необходимо отметить, что наблюдаемые эффекты невозможно объяснить увеличением концентрации точечных радиационных дефектов. Возможно, наличие локализованных состояний [40] приводит к образованию скоплений дефектов и их аннигиляции, ведущей к радиационному отжигу сильнодеформированных поверхностных слоев (толщиной 0,1 мкм) исследованных аустенитных сталей. Аналогичные изменения структуры и фазового состава поверхностного слоя получены и при анализе данных о влиянии γ -облучения ($E=1,25$ МэВ) на модифицированные стали и сварные соединения [41].

Мессбауэровское исследование сварных швов сталей 06Х16Н15М3Б и 12Х18Н10Т

Структурно-фазовое состояние аустенитных коррозионно-стойких сталей и его изменения при легировании и деформации во многом определяют эксплуатационные свойства изделий и конструкций в условиях воздействия термических, механических, радиационных нагрузок, а также коррозионно-активных сред. Кроме того, установлено, что сварные соединения, полученные дуговой сваркой с газовой защитой обладают высокой пластичностью, ударной вязкостью, прочностью, по сравнению с соединениями, сваренными под флюсом. Это связано с повышенным содержанием феррита в шве при сварке с газовой защитой. Подобное увеличение содержания феррита в шве пытались достигнуть путем приложения растягивающих напряжений в процессе сварки.

Сварка коррозионностойких сталей и сплавов, как правило, повышает чувствительность к коррозии за счет создания гетерогенной структуры и неоднородности состава шва [41-43]. Сварку пластин производили как аргонодуговым методом с использованием неплавящегося электрода при сквозном проплавлении пластины в ламинарном потоке аргона, так и электронно-лучевым методом в вакууме $5 \cdot 10^{-3}$ Па.

При сварке плавлением в защитных средах большое значение имеют окислительно-восстановительные процессы, протекающие в результате взаимодействия жидкого металла с защитной средой. Следствием указанных процессов является образование не только определенного количества оксидных и шлаковых включений на поверхности материала, но и изменение состава приповерхностных слоев металла сварного шва (СШ) и зоны термического влияния (ЗТВ), по сравнению с исходным структурно-фазовым состоянием перед сваркой.

По мере удаления от шва по обе стороны относительная величина эффекта резонансного рассеяния $\varepsilon/\varepsilon_0$ (ε_0 - величина резонансного рассеяния металла пластины перед сваркой) достигала максимального значения на удалении 8-10 мм от центра шва (рис.30). При исследовании исходных сталей после аргонно-дуговой сварки было обнаружено, что приповерхностный слой обеднен аустенитом, причем наиболее сильно это выражается в СШ и менее – в ЗТВ. По мере удаления приповерхностных слоев послойным травлением содержание аустенита возрастает, и на глубине 50-70 мкм и более достигает постоянной величины. Полученные из спектров МСКЭ зависимости $\varepsilon/\varepsilon_0$ от толщины d снятого слоя для внешней и обратной стороны шва, а также материала ЗТВ изображены на рис.31а. Кристаллизация металла СШ происходит в термодинамически неравновесных условиях, а ЗТВ подвергается температурному воздействию, интенсивность которого уменьшается по мере удаления от шва. В целом это приводит к структурной неоднородности металла, появлению градиента механических напряжений, а также фазовой и химической неоднородности. Наиболее сильно выраженную неоднородность можно ожидать в приповерхностном слое, поскольку этот слой охлаждается наиболее быстро, а так же вследствие влияния свободной поверхности на γ -а переход и сегрегацию примесей.

При изучении воздействия принудительной деформации металла СШ и ЗТВ на их фазовую неоднородность образцы готовили по двум схемам: 1) без приложения принудительной деформации, в состоянии свободной усадки; 2) с принудительной деформацией вдоль оси шва со скоростью растяжения 12–14 мм/мин. Для сравнения получаемых результатов сталь 12Х18Н10Т в образцах сварки с наложением принудительной деформации растягивали с такой же скоростью, несмотря на то, что 12-13 мм/мин значительно меньше критической скорости деформации 28-30 мм/мин для стали 12Х18Н10Т. Сопоставление результатов послойного анализа пластин до сварки, спектров поглощения и рассеяния на фольгах, полученных прокаткой при комнатной температуре, с показанными на рис.31, 32 зависимостями, приводит к выводу, что обнаруженная фазовая неоднородность по глубине до 100 мкм присуща только металлу СШ и ЗТВ. Для стали 12Х18Н10Т характер зависимостей $\varepsilon/\varepsilon_0$ от d в основном подобен приведенным на рис.31. Для пластины, растягиваемой при сварке, величины $\varepsilon/\varepsilon_0$ выходят на стационарное значение при $d=5$ мкм.

Можно назвать несколько причин, приводящих к концентрационной неоднородности аустенита в приповерхностном слое сталей при сварке. В приповерхностном слое толщиной 20-30 мкм $>d>0,3$ мкм под влиянием свободной поверхности может происходить мартенситное превращение. Кроме этого, на интенсивность спектра

аустенита могут влиять неметаллические включения. Сжатие концентрационных зависимостей аустенита по глубине под воздействием растягивающего усилия при сварке позволяет заключить, что, хотя неметаллические включения, количества которых должно уменьшаться с ростом d , могут ослаблять спектр аустенита, тем не менее, содержание аустенита зависит от уровня механических напряжений. Таким образом, показано, что фазовая неоднородность СШ и ЗТВ стали простирается на заметную глубину (до 50 мкм), что может оказаться на склонности СШ и ЗТВ к образованию трещин. Применяемый для оценки склонности к трещинообразованию метод наложения растягивающих напряжений при сварке приводит к перераспределению содержания аустенита в приповерхностном слое.

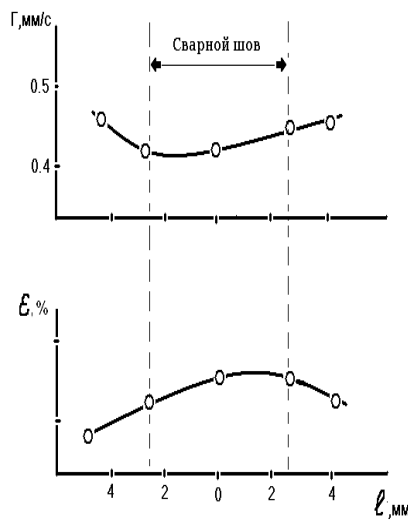


Рис.30. Зависимость величины резонансного рассеяния ϵ и полуширины Γ спектров рассеяния различных участков сварного шва

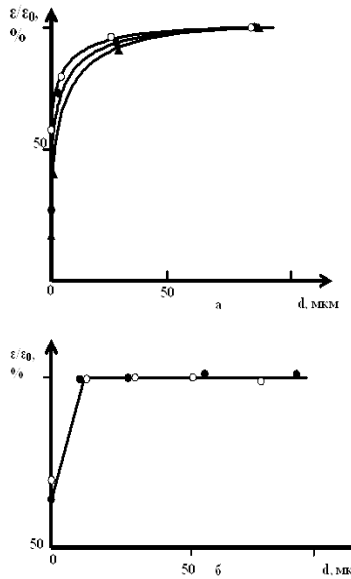


Рис.31. Зависимости содержания аустенита в материале СШ от глубины для стали 06Х16Н15М3Б.
• – плоская сторона СШ,
▲ – выпуклая сторона СШ, ○ – ЗТВ.
а) СШ выполнен без принудительной деформации; б) СШ выполнен с принудительной деформацией со скоростью $v=14,4$ мм/мин

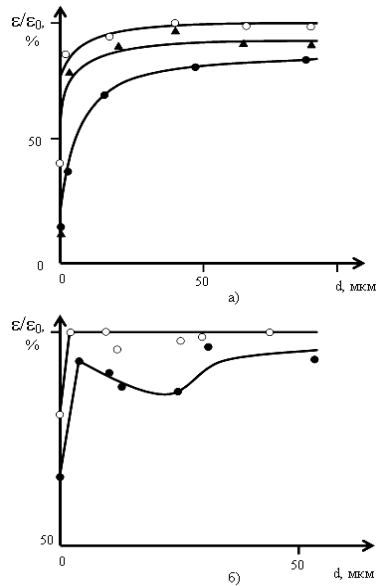


Рис.32. Зависимости содержания аустенита в материале СШ от глубины для стали 12Х18Н10Т.
• – плоская сторона СШ;
▲ – выпуклая сторона СШ; ○ – ЗТВ.
а) СШ выполнен без принудительной деформации; б) СШ выполнен с принудительной деформацией со скоростью $v=15$ мм/мин

Исследование коррозии сталей X18H10T и ЭИ-847 в нитрине

Коррозионная стойкость в нитрине N_2O_4 нержавеющих сталей интенсивно изучается в связи с разработкой высокоэффективных ядерных энергетических установок с диссоциированным теплоносителем [42, 43]. Рассмотрим результаты исследования методом МСКЭ на ядрах ^{57}Fe поверхностного слоя образцов сталей X18H10T и ЭИ-847 при коррозии в N_2O_4 . Спектры сталей в исходном состоянии (до окисления), а также при температурах окисления в диапазоне 150–400°C представлены одиночной линией аустенита. При повышении температуры до 650°C, наряду с линиями аустенита, появились линии гематита Fe_2O_3 , при этом интенсивность линий гематита для стали ЭИ-847 больше. На рис.33 для разных температур коррозии представлены величины отношений резонансного рассеяния для стали X18H10T, окисленной и в исходном состоянии $\epsilon/\epsilon_{\text{исх}}$. Это отношение характеризует относительное содержание аустенитной и окисной железосодержащих фаз в приповерхностном слое. При низкотемпературной коррозии наблюдается ослабление линии аустенита, не сопровождающееся появлением линий других железосодержащих фаз и указывающее на то, что образуется поверхность слой, не содержащий в заметном количестве железо. Из всех компонентов стали при формировании обедненного железом слоя наиболее значительный вклад дает хром. Более высокое содержание гематита в приповерхностном слое стали ЭИ-847 при $T=650$ °C, по сравнению с приповерхностным слоем стали X18H10T (в 2,1 и 1,2 раза, соответственно, для 5 и 10 часов окисления), также можно связать с меньшим содержанием хрома в стали ЭИ-847 (рис.34).

Резкое изменение зависимостей $\epsilon/\epsilon_{\text{исх}}$ аустенита при $T=650$ °C соответствует появлению в заметном количестве кислорода при термическом разложении NO_2 в диапазоне температур 600–700°C. Величина ослабления линии аустенита позволяет по порядку величины оценить толщину окисной пленки. При окислении стали OX16H5M3B в нитрине в течение 30 часов на границе раздела сталь–окисел наиболее сильно изменилось содержание Cr и Ni, при некотором снижении содержания железа. Толщина пленки на поверхности сталей изменяется примерно от 30 Å ($T=250$ °C) до 100 Å ($T=400$ °C), если использовать при оценке линейный коэффициент ослабления электронов для Fe. Толщины 30–100 Å соответствуют случаю образования на поверхности стали

слоя Cr. Но эти величины примерно в 1,4 раза занижены, если ослабление линии аустенита связано с Cr_2O_3 .

Мессбауэровский спектр рассеяния образца стали ЭИ-847, окисленной в нитрине при 400 С и давлении 160 атм. в течение 360 часов, представлен линиями гематита, причем все их положения совпадали с положениями линий Fe_2O_3 для ранних стадий коррозии. Рассмотрим случай окисления при 600 С. Оксидная пленка имеет трёхслойную структуру. Прилегающий к металлу слой состоит из хромита железа FeCr_2O_4 . Поверхностный слой состоит из железосодержащих оксидов Fe_2O_3 , Fe_3O_4 с небольшим количеством никеля в виде примеси, и оксида хрома Cr_2O_3 , или, может быть, хромита железа FeCr_2O_4 , растворенного в Fe_3O_4 . Содержание окисла хрома увеличивается в глубину окисной пленки и имеет максимум 13% на глубине 4 мкм. Между этими двумя слоями располагается область, которая характеризуется небольшим уменьшением содержания хрома и увеличением содержания никеля и молибдена. По-видимому, здесь образуется некоторая шпинельная структура. В пользу того, что основной защитный слой на границе окисел-металл состоит из Fe_3O_4 свидетельствует тот факт, что отношение содержаний $\text{Cr}/\text{Fe} \approx 2$. Установлено, что, примыкающая к границе окисел-металл, зона матрицы обеднена хромом (10-11%), а содержание Ni и Mo возрастает до 22 и 7%, соответственно (рис.35).

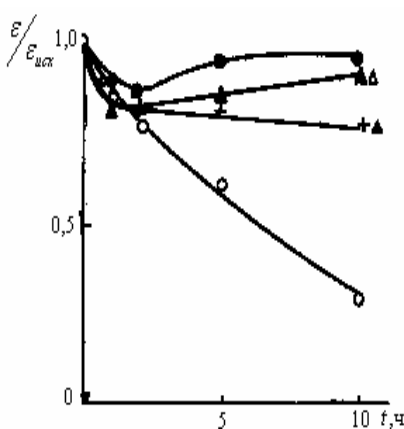


Рис.33. Зависимость $\varepsilon/\varepsilon_{\text{исх}}$ для стали X18H10T от времени окисления

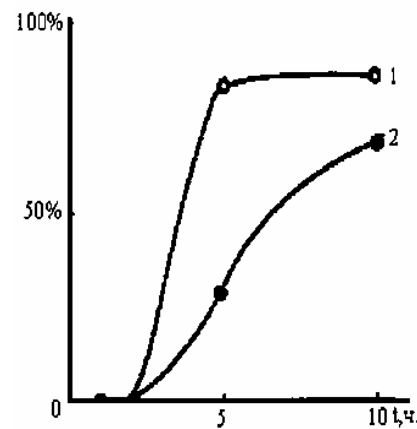


Рис.34. Зависимость содержания Fe_2O_3 в приповерхностном слое стали от времени окисления.
1 - ЭИ-847, 2 - X18H10T

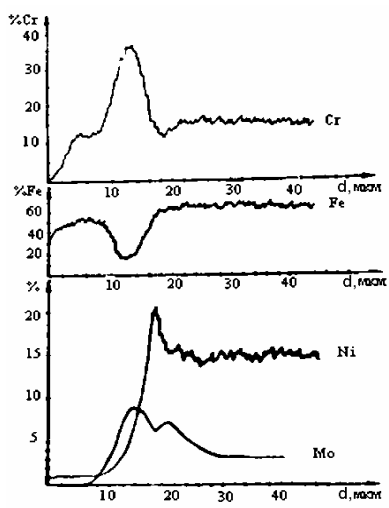


Рис.35. Содержание Cr, Fe, Ni, Mo в окисной пленке стали ЭИ-847 по глубине слоя после окисления в нитрине.

Рассмотрим результаты, касающиеся окисной пленки, образовавшейся при 750 С. Здесь можно выделить четыре слоя. Поверхностный слой состоит, так же, как и в предыдущем случае, из растворов Fe_2O_3 , Fe_3O_4 и Cr_2O_3 или FeCr_2O_4 . Затем содержание хрома падает от 20 до 10%, а содержание Ni и Mo увеличивается. Особен- но значительно увеличение концентрации Mo: она увеличивается от 0 до 9% и имеет здесь максимум. Предположительно, в этой зоне образовалась шпинель. Третий слой состоит из FeCr_2O_4 . Здесь, как и в первом образце, отношение концентраций хрома и железа ≈ 2 . Четвёртый слой представляет собой выделения FeCr_2O_4 в металлической матрице. Появление этого слоя может быть объяснено начавшимся процессом внутреннего окисления. Состав матрицы в этой и прилегающей к ней зоне обеден хромом и обогащен никелем в несколько большей степени, чем в предыдущем случае, что может быть так же объяснено внутренним окислением преимущественно хрома. Для определения фазового состава окисной пленки был проведён послойный анализ с применением мессбауэровской методики. Результаты показали, что окисная пленка образцов, окислявшихся при 600 С и 750 С, в основном состоит из Fe_2O_3 , Fe_3O_4 и Cr_2O_3 . Вывод о том, что растворенным окислом хрома является Cr_2O_3 , а не FeCr_2O_4 , сделан на основании отсутствия в спектре линии хромита железа. Обнаружено различие в поверхностном слое окисла для исследовавшихся образцов. При окислении при температуре 600 С на поверхности находится почти чистый магнетит Fe_3O_4 . Поверхность же образца, окисленного при 750 С, представляет собой либо смесь Fe_2O_3 , Fe_3O_4 , либо тонкий слой Fe_2O_3 .

Фазовые превращения в поверхностных слоях стали 12Х18Н10Т при коррозии в жидком натрии

В последние годы возрос интерес к жидкокометаллическим средам в качестве теплоносителей. При использовании для этих целей, в частности, натрия, лития, калия и их сплавов, а также свинца возникают проблемы изменения микроструктуры, состава и морфологии поверхности металлических конструкций. При взаимодействии хромоникелевых аустенитных коррозионностойких сталей с потоком жидкого щелочного металла – жидкокометаллического теплоносителя происходит изменение структуры и химического состава приповерхностного слоя стали за счет избирательного травления и вымывания компонентов стали, что приводит к структурно-фазовым превращениям (в том числе к $\gamma \rightarrow \alpha$ переходу) и пористости и ухудшает механические свойства поверхности стали [44-46]. Рассмотрим результаты исследования с помощью мессбауэровской спектроскопии на ядрах ^{57}Fe методом МСКЭ изменения локального окружения атомов железа в приповерхностном

слой толщиной $\sim 0,1$ мкм (1000 Å) в сталях 12Х18Н10Т и 06Х16Н15М3Б, подвергнутых коррозии в жидком натрии при 700 С в течение 5000 часов при скорости протекания натрия ≈ 1 м/с (рис.36-37).

Анализ мессбауэровских и рентгеновских данных показывает, что $\gamma \rightarrow \alpha$ превращение в стали 08Х16Н15М3Б происходит в более тонком слое, чем в стали 12Х18Н10Т, что можно объяснить более высоким начальным содержанием никеля в стали 06Х16Н15М3Б и, как следствие, меньшей долей α -фазы, по сравнению со сталью 12Х18Н10Т, при вымывании никеля натрием. Никель вымывается с большей скоростью, чем Cr и Fe. Появление вакансий в приповерхностном слое должно инициировать диффузионные процессы. Представляется, что формирующаяся в процессе коррозии локальная химическая неоднородность приповерхностного слоя является одной из главных причин взаимосвязанных процессов $\gamma \rightarrow \alpha$ превращения, развития пористости, зарождения и роста других фаз. Наличие широких групп локальных окружений ядер ^{57}Fe говорит о перераспределении атомов в ближайшем окружении атомов Fe как при прокатке, так и при коррозии, что приводит к неоднородности локального химического состава. Учитывая селективность вымывания никеля, для определения сверхтонких магнитных полей на ядрах ^{57}Fe - H₁ (окружение Fe без примесей) и H₂ (окружение Fe с примесями) используем концентрационную зависимость среднего магнитного поля на ядрах ^{57}Fe в сплавах Fe-Cr и получим среднее содержание хрома X₁=10 вес.% и X₂=17 вес.% в сталях 12Х18Н10Т и 06Х16Н15М3Б, соответственно.

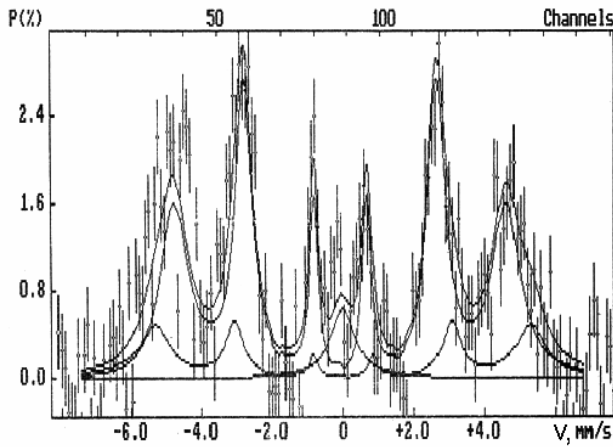


Рис.36. МСКЭ спектр поверхности стали 12Х18Н10Т после коррозии в натрии

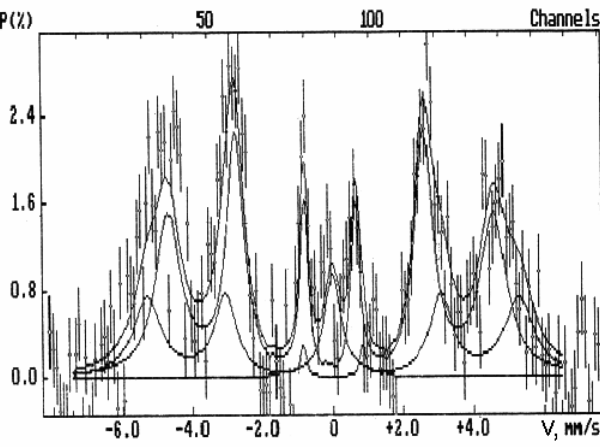


Рис.37. МСКЭ спектр поверхности стали 08Х16Н15М3Б после коррозии в натрии

Обращает на себя внимание сохранение примерного содержания X₁ и X₂ для обеих сталей до и после коррозии. Видимо, если время экспозиции стали в Na достаточно велико для удаления основной части Ni из приповерхностного слоя, то локальное окружение атомов железа в этом слое уже существенно не зависит от исходного химического состава стали. Замещение вакансий, образованных уходящими атомами Ni, атомами Fe и Cr энергетически выгодно из-за более сильной энергии связи пар Fe-Fe, Fe-Cr по сравнению с парами Fe-Ni, Ni-Ni. Можно сделать вывод, что $\gamma \rightarrow \alpha$ превращение в этих сталях при коррозии происходит вследствие образования химической неоднородности и механических напряжений. Диффузионное перераспределение элементов, приводящее к зарождению α -фазы, должно происходить и при пластической деформации. Химическая неоднородность, имеющая диффузионное происхождение, приведет при коррозии в жидких теплоносителях также к зарождению и росту других фаз, фаз Лавеса A₂B (A=Fe, Cr, Ni; B=Mo, Ti, Nb), упорядоченного твердого раствора Fe_xCr_y.

Как показано выше, деформация с обжатием до 80% при комнатной температуре приводит к $\gamma \rightarrow \alpha$ превращению только в стали 12Х18Н10Т, причём структура α -фазы также указывает на два набора различных локальных окружений, но значение сверхтонкого магнитного поля $\bar{H} \approx 260$ кЭ. Увеличение \bar{H} при коррозии, по сравнению с \bar{H} деформированной стали (290 и 260 кЭ, соответственно), указывает на изменение локального окружения ядер ^{57}Fe в приповерхностном слое при коррозии не только вследствие ухода атомов никеля, но также и атомов хрома из первой координационной сферы атомов железа. Примесь Cr и Mo в α -Fe понижает \bar{H} на ядрах ^{57}Fe , а примесь Ni - увеличивает. Наличие широких групп локальных окружений ядер ^{57}Fe свидетельствует о перераспределении атомов в ближайшем окружении атомов Fe при коррозии, что приводит к неоднородности локального химического состава. Можно сделать вывод, что $\gamma \rightarrow \alpha$ превращение в этих сталях при коррозии происходит вследствие образования химической неоднородности и механических напряжений. Никель вымывается с большей скоростью, чем Cr и Fe. Появление вследствие этого вакансий в приповерхностном слое должно инициировать диффузионные процессы.

ВЫВОДЫ

В работе изложены результаты, полученные при ядерно-физическому исследовании железорудных материалов и сталей. Проведен сравнительный анализ различных методов определения фазового и элементного состава железорудного сырья и продуктов восстановления в черной металлургии. Показана высокая эффектив-

ность мессбауэровского фазового анализа при анализе состава продуктов, образующихся в зоне “размягчение - расплавление” при высокотемпературной обработке железорудных материалов – агломератов и окатышей в доменной печи. Содержание железа в базовых железорудных материалах, продуктах восстановления и шлаковой связке коррелирует с основностью исходных железорудных материалов.

В губчатом железе, полученном восстановлением гематита в водороде при 350 С, может образоваться парамагнитная при комнатной температуре фаза, что проявляется в наложении на шестилинейчатый спектр ферромагнитного α -Fe дополнительного дублета с квадрупольным расщеплением $0,85\pm0,05$ мм/с и изомерным сдвигом $0,78\pm0,05$ мм/с относительно нитропруссида натрия. Параметры спектров губчатого железа, полученного при 400-800 С, совпадают с параметрами массивного α -Fe. Процесс окисления губчатого железа имеет три стадии, и скорость его зависит от температуры восстановления образца. Первая стадия характеризуется переходом от 30 до 45% атомов железа (для температуры восстановления 400 С и 750 С) в окисную фазу. Вторую и третью стадии можно описать простым параболическим законом роста окисной фазы с различными константами скорости окисления.

Анализ мессбауэровских спектров поглощения серых чугунов, модифицированных церием, показывает, что возможно влияние церия на содержание и распределение примесей в решетке феррита. Методами мессбауэровской спектроскопии, резерфордовского обратного рассеяния и рентгеноструктурного анализа изучены фольги α -Fe после имплантации ионов Fe^{4+} . Одновременно с внедрением ионов железа в приповерхностный слой вводится углерод. Температурные зависимости уширения линий мессбауэровского спектра показывают, что поля упругих напряжений в матрице α -Fe вызваны аморфными выделениями карбида железа. Оценка энергии активации образования комплексов железо-углерод проведена с помощью уравнения Аврами и дала значение $0,3\pm0,1$ эВ, которое с точностью до экспериментальной ошибки совпадает с энергией активации роста выделений цементита в стали.

Экспериментально установлено изменение структурной и фазовой стабильности сталей под влиянием γ -облучения, наиболее выраженное при наличии структурно-фазовых неоднородностей, характерных для процесса холодной пластической деформации. Обнаружено совместное влияние холодной пластической деформации и радиационного γ -отжига на развитие прямого и обратного $\gamma\rightarrow\alpha$ превращения. Эти процессы приводят к изменению относительного содержания γ -фазы и α -фазы в приповерхностных слоях сталей. Показано, что основное влияние γ -облучения приходится на область малых степеней холодной пластической деформации сталей и зависит от глубины поверхностного слоя. Изучены концентрационные неоднородности аустенита путем послойного исследования металла методами мессбауэровской спектроскопии и рентгеноструктурного анализа для сталей 06Х16Н15М3Б и 12Х18Н10Т.

Приведены зависимости распределения концентрации аустенита по глубине СШ и ЗТВ. Полученные концентрационные зависимости объяснены механизмами структурно-фазовых превращений, а так же изменением состава в слоях конструкционных сталей и сварных соединений при различных видах обработки и взаимодействия. Селективный характер вымывания компонентов сталей при коррозии в натрии приводит к структурно-фазовым превращениям (в том числе к $\gamma\rightarrow\alpha$ переходу в поверхностном слое) и пористости, что ухудшает механические свойства стали. Представляется, что формирующаяся в процессе коррозии локальная химическая неоднородность приповерхностного слоя является одной из главных причин взаимосвязанных процессов: $\gamma\rightarrow\alpha$ превращения, развития пористости, зарождения и роста других фаз. Коррозия в натрии проводит к протеканию $\gamma\rightarrow\alpha$ превращения за счет изменения локального окружения ядер ^{57}Fe в приповерхностном слое при коррозии, вследствие ухода не только атомов Ni, но и Cr. Пути к повышению коррозионной стойкости - увеличение стабильности фазы аустенита к $\gamma\rightarrow\alpha$ переходу и уменьшение тенденции к порообразованию.

СПИСОК ЛИТЕРАТУРЫ

1. Воеводин В.Н., Неклюдов И.М. Эволюция структурного состояния и радиационная стойкость конструкционных материалов. - Киев: Наукова думка, 2006. -376 с.
2. Феоктистов Л.П. Безопасность - ключевой момент возрождения ядерной энергетики // УФН. -1993. -Т.163, №8. -С.89-102.
3. Исаев А.Н. Перспективы развития ядерной энергетики - реакторы средней и малой мощности // Атомная техника за рубежом. -2007. -№2. -С.3-9.
4. Путилов А.В. Разработки ФГУП ВНИИНМ в области нанотехнологий и наноматериалов. nano portal.ru, январь 2008 г..
5. Кириченко В.Г., Чекин В.В., Резниченко Э.А. Сверхтонкие взаимодействия и радиационные повреждения в металлах //Вопросы атомной науки и техники. Сер.Физика радиац.поврежд. и радиац. материаловедение. - 1982. - Вып.3 (22).- С.3-12.
6. Литвинов В.С., Каракиев В.Д., Овчинников В.В. Ядерная гамма-резонансная спектроскопия сплавов. – М.: Металлургия, 1982.– 143 с.
7. Чекин В.В., Кириченко В.Г. Сверхтонкие взаимодействия и радиационные повреждения в металлах //Деп.УкрНИИНТИ 12.05.85. Рег.№996Ук-85.Деп. -211с.
8. Чекин В.В., Кириченко В.Г., Резниченко Э.А. Сверхтонкие взаимодействия и радиационные повреждения в металлах. - Харьков: Изд-во "Вища школа", 1986.- 136 с.
9. Кириченко В.Г., Багмут А.Г., Николайчук Г.П., Долганюк И.М. Применение ядерно-физических методов для изучения аморфных металлов //Проблемы ядерной физики и космических лучей. - Харьков: Вища школа, 1989.- С.68-71.

10. Азаренков Н.А., Кириченко В.Г., Литовченко С.В., Куклин В.М., Нечипоренко Е.П. Проблемы современного материаловедения. Фундаментальные и прикладные исследования на кафедре материалов реакторостроения ХГУ //Вісник Харківського університету, серія фізична "Ядра, частинки, поля". – 1999. - №443. - Вип.2(6). - С.73-76.
11. Кириченко В.Г., Куклин В.М., Великодный А.И., Игрушин В.В. Ядерная гамма - резонансная спектроскопия металлов, сплавов и неорганических материалов //Труды 15 международной конференции по физике радиационных явлений и радиационному материаловедению, 10-15 июня 2002, Алушта, Крым. - С.352-353.
12. Азаренков Н.А., Кириченко В.Г. Ядерно-физические методы в радиационном материаловедении. - Харьков: Издательство ХНУ, 2008. -148с.
13. Кириченко В.Г., Кирдин А.И. Ядерно-физическое металловедение сплавов циркония //Вісник Харківського національного університета, серія фізична "Ядра, частинки, поля". – 2008. - №.823. - Вип. 3/39/. - С.25-45.
14. Игрушин В.В., Кириченко В.Г., Чекин В.В Мессбауэровский кассетный детектор конверсионных электронов. - Деп. в ГНТБ Украины 30.06.93. Рег.№1321-Ук93. - 7с.
15. Газовая смесь для детекторов конверсионных электронов: А.с. №1567946 СССР, МКИ G 01 N 24/00 / В.Г. Кириченко (СССР). - 5с.
16. Анохина Г.Ф., Кудрявцев В.С., Щегля В.А., Федоров А.А., Вернидуб О.Д., Кириченко В.Г., Игрушин В.В. Расчетный метод определения содержания Fe_{мет} по содержанию Fe_{общ} и С в металлизированных окатышах //Тезисы докладов Всесоюзн. научно- технич. конф. Техн. и соц. пробл., связ. со строит. ОЭМК. Ч.2. Старый Оскол, 1981.-С.2547-2549.
17. Стародуб Т.К., Толмачев В.Н., Пирогов Ю.А., Кириченко В.Г., Великодный А.И. Исследование систем FeO- полифосфаты натрия методами дериватографии и ядерного гамма-резонанса //Физико-химические исследования фосфатов: Тезисы докладов IV Всесоюзной конф. - Минск, 1976.-С.278.
18. Стародуб Т.К., Толмачев В.Н., Кириченко В.Г. Исследование систем закись железа-полифосфаты натрия методами ЯГР и ИК – спектроскопии //Тезисы докладов X Укр. респ. конф. по неорг. химии. - Симферополь, 1981.- С.131.
19. Зюбан О.П., Цвик Ж.Б., Кожевников И.В., Игрушин В.В., Кириченко В.Г., Чекин В.В. Влияние изменения фазового состава в процессе восстановления на разупрочнение окатышей //Тезисы докладов Всесоюзн. науч но-техн. конфер. Техн. и соц. проблемы, связ. со строит. ОЭМК. Ч.2. Старый Оскол, 1981.-С.25-26.
20. Гладков Н.А., Нестеров А.О., Кириченко В.Г. К вопросу о восстановлении агломератов доменной печи //Тезисы докладов научно-техн. конф. Физико-химия процессов восстановления металлов. 19-20 мая 1988г. – Днепропетровск, 1988.- С.52.
21. Зюбан О.П., Игрушин В.В., Кириченко В.Г., Цвик Ж.Б., Чекин В.В. Изменение фазового состава и прочность железо-рудных окатышей из концентратов Лебединского ГОКа при восстановлении //Известия АН СССР. Сер.Металлы. - 1987.- №4. - С.19-21.
22. Чекин В.В., Кириченко В.Г., Яценко А.С. Исследование кинетики окисления губчатого железа методом ядерного гамма – резонанса // Известия АН СССР. Металлы. - 1979.- № 5. - С.244-247.
23. Андronov B.N., Великодный А.И., Канфер В.Д., Кириченко В.Г., Чекин В.В., Яценко А.С. Влияние содержания углерода на некоторые свойства губчатого железа //Известия ВУЗов. Черная металлургия. - 1977. - №3. - С.32-34.
24. Чекин В.В., Кириченко В.Г., Яценко А.С. Мессбауэровское исследование влияния цементита на окисление губчатого железа //Известия ВУЗов. Черная металлургия. - 1978. - №9. - С.125-127.
25. Игрушин В.В., Кириченко В.Г., Чекин В.В. Защита металлизованных окатышей и армко-железа отходами производства диметилтерефталата //Защита металлов. - 1986. - Т.XXII. - С.156-158.
26. Великодный А.И., Кириченко В.Г., Любченко А.П., Севенко Г.П., Чекин В.В., Яценко А.С. Мессбауэровский спектр поглощения феррита серого чугуна //Известия ВУЗов. Черная металлургия. - 1977. - №7. - С.136-138.
27. Великодный А.И., Кириченко В.Г., Любченко А.П., Севенко Г.П., Чекин В.В., Яценко А.С. Влияние добавок церия на распределение примесей в феррите серых чугунов //Известия АН СССР. Серия: Металлы. - 1977. - № 5. - С.145-149.
28. Кириченко В.Г., Неклюдов И.М. Резниченко Э. А. Чекин В.В. Мессбауэровское и рентгенографическое исследование α-Fe после облучения ионами Fe и изохронного отжига //Тезисы докладов I Всесоюзного Совещания по ядерно-спектроскопическим исследованиям сверхтонких взаимодействий. - М.:Изд-во МГУ, 1985. - С.77.
29. Игрушин В.В., Кириченко В.Г., Машкаров Ю.Г., Снурникова А.И., Чекин В.В., Резниченко Э.А. Исследование приповерхностных слоев фольги α-Fe после облучения ионами Fe⁴⁺ и изохронного отжига //Вопросы атомной науки и техники. Сер.:Физика радиац. поврежд. и радиац. материаловедение. - 1988.- Вып.5(47). - С.28-31.
30. Thermochemical Process of Microalloyed Austenite. TMS-AIME. Warrendale.NY, 1982. - 221p.
31. Григорович В.К. Металлическая связь и структура металлов. - М.:Наука, 1988.-296с.
32. Пархоменко А.А., Ожигов Л.С., Азаренков Н.А., Кириченко В.Г., Литовченко С.В. Влияние электронной структуры на радиационное охрупчивание металлов //Труды XVII Международной конференции по физике радиационных явлений и радиационному материаловедению, 4-9 сентября 2006, Алушта, Крым. XVII ICPRP, с.39-40.
33. Игрушин В.В., Кириченко В.Г., Снурникова А.И., Чекин В.В. Внутренние напряжения в сплавах на основе ванадия при растворении кислорода и азота // Известия АН СССР. Сер.Металлы. - 1986. - №4. - С.129-133.
34. Багмут А.Г., Косевич В.М., Николайчук Г.П., Кириченко В.Г. Аморфизация железа и хрома при лазерном испарении // Письма в журнал технической физики. -1988. - Т.14. - Вып.23. - С.2187-2190.
35. Bagmut A.G., Kosevich V.M., Nikolaychuk G.P., Kirichenko V.G., Sarana V.D. Oxygen influence on structurization in transitional metal films deposited from laser erosion plasma // Functional materials. – 1999. - Vol.6, № 5. - P.951-957.
36. Игрушин В.В., Кириченко В.Г., Коллеров Э.П. и др. Мессбауэровское исследование фазовых превращений в аустенитных сталях при термомеханической обработке //Применение мессбауэровской спектроскопии в материаловедении, 11-13 мая 1989. - Ижевск, 1989. - С.14.
37. Игрушин В.В., Кириченко В.Г., Чекин В.В. и др. γ-α превращения в сварных соединениях аустенитной коррозионностойкой стали 12Х18Н10Т при пластической деформации //Прикладная мессбауэровская спектроскопия, 11-15 июня 1990г. - Казань,1990. – С.77.

38. Красноруцкий В.С., Черный Б.П., Татаринов В.Р., Кузовлев О.В., Игрушин В.В., Кириченко В.Г., Чекин В.В. Влияние добавок РЗМ на содержание аустенита в приповерхностных слоях сварных швов и зон термического влияния сталей 06Х16Н15М3Б и 12Х18Н10Т, легированных скандием //Специальные вопросы атомной науки и техники. Сер. Физика радиац. поврежд. и радиац. материаловед. - 1986.-Вып. 3(3)-4(4).- С.56-61.
39. Игрушин В.В., Кириченко В.Г., Чекин В.В., Снурникова А.И., Коллеров Э.П., Мнев В.Н. Мессбауэровское и рентгеноструктурное исследование влияния γ -облучения на перераспределение атомов в поверхностных слоях стали Х18Н9Т //Применение мессбауэровской спектроскопии в материаловедении, 11-13 мая 1989. - Ижевск, 1989.-С.9.
40. В.Г. Кириченко, Д.В. Чмиль. Структурно-фазовые превращения в аустенитных сталях при отжиге, деформации и гамма-облучении //Вісник Харківського національного університета. Сер. фізична "Ядра, частинки, поля". – 2002. - №574-. Вип. 4/20. - С.89-92.
41. Игрушин В.В., Кириченко В.Г., Коллеров Э.П. и др. Влияние радиационного воздействия на структурно-фазовое состояние приповерхностных слоев аустенитных сталей и их сварных соединений //Вопросы стойкости ЭРИ, элементов и материалов к спец. воздействию, 10-14 сентября 1990. - Москва, 1990. - С.178-179.
42. Красноруцкий В.С., Татаринов В.Н., Кузовлев О.В., Игрушин В.В., Кириченко В.Г., Лавренович А.Г., Чекин В.В. Мессбауэровское и рентгеноструктурное исследование сварных швов и зон термического влияния коррозионностойких сталей 09Х16Н15М3Б и 12Х18Н10Т //Вопросы атомной науки и техн. Сер. сварка в ядерной технол. - 1986.-Вып.2(17).- С.8-11.
43. Игрушин В.В., Коллеров Э.П., Мнев В.Н., Чекин В.В. Фазовая неоднородность приповерхностного слоя сварных швов и зон термического влияния аустенитных сталей 12Х18Н10Т и 06Х16Н15М3Б // Вопросы применения ядерных излучений. - М.: МИФИ, 1991.- С.117-119.
44. Игрушин В.В., Кириченко В.Г., Лавренович А.Г. и др. Исследование начальной стадии коррозии сталей 12Х18Н10Т и 09Х16Н15М3Б в нитрине методом мессбауэровской спектроскопии //Вопросы атомной науки и техники. Сер.Физика радиац. поврежд.и радиац. материаловедение. - 1985. - Вып.3(36). - С.44-46.
45. Богач К.В., Игрушин В.В., Кириченко В.Г., Петельгузов И.А., Чекин В.В. Элементный и фазовый состав оксидного слоя на стали 09Х16Н15М3Б при коррозии в нитрине //Вопросы атомной науки и техники. Сер. Ядерные реакторы и технология. - 1988.- №3(28). - С.16-19.
46. Игрушин В.В., Кириченко В.Г., Коллеров Э.П., Мнев В.Н., Снурникова А.И., Чекин В.В. γ - α превращение в аустенитных нержавеющих сталях 12Х18Н10Т и 06Х16Н15М3Б при коррозии в жидком натрии // Прикладная мессбауэровская спектроскопия. - М.: 1988. - Ч.1.-С.72.
47. Игрушин В.В., Кириченко В.Г., Коллеров Э.П., Мнев В.Н., Чекин В.В. γ - α превращение в аустенитных нержавеющих сталях 12Х18Н10Т и 06Х16Н15М3Б при коррозии в жидком натрии // Вопросы применения ядерных излучений. - М.: МИФИ, 1991.- С.77-80.
48. Азаренков Н.А., Кириченко В.Г., Литовченко С.В., Петельгузов И.А. Фазовые превращения в поверхностных слоях стали 12Х18Н10Т при коррозии в жидком натрии //Труды XVII Международной конференции по физике радиационных явлений и радиационному материаловедению 4-9 сентября 2006, Алушта, Крым. XVII ICPRP. - С.171-172.

NUCLEAR-PHYSICAL METALLOGRAPHY OF STEELS

V.G. Kirichenko¹, A.I. Kirdin²

¹*Kharkov National University, High Technology Institute, Phisical and Technical Department*

31, Kurchatov St., Kharkov, 61108, Ukraine

E-mail: kirichenko@phf.univer.kharkov.ua

²*National Science Center "Kharkov Institute of Physics and Technology"*

1, Academicheskaya St., Kharkov, Ukraine, 61108

The principles of nuclear-physical metallurgy of steels by using nuclear gamma resonance (Mössbauer effect) were considered. The phase analysis results of iron-ore and high quality rerolling materials at all stages of steel making as iron-ore recovery and concentration, palletizing, sintered ore manufacture and ironmaking were described. The results of investigations of hyperfine interactions and phase transformations in austenitic corrosion-resistant steels under complex thermomechanical treatment, irradiation, welding and corrosion were described. It was found the concentration inhomogeneous of austenite distribution by depth in welding joints and thermal influence zones in 06Х16Н15М3Б and 12Х18Н10Т steels. It was experimentally established modification of structure and phase stability under gamma irradiation. This modification was more distinctly revealed in the presence of structure and phase inhomogeneous, which is typical for process of cold plastic deformation. It was found the joint effect of cold plastic deformation and gamma irradiation on direct and inverse γ - α transformation evolution. Steel corrosion in gas and liquid medium leads to formation of heterogeneous phase oxide film.

KEY WORDS: nuclear-physical methods, hyperfine interactions, Mössbauer effect, steel, alloying, surface, electron structure, irradiation, corrosion.